

# CMOS RF回路

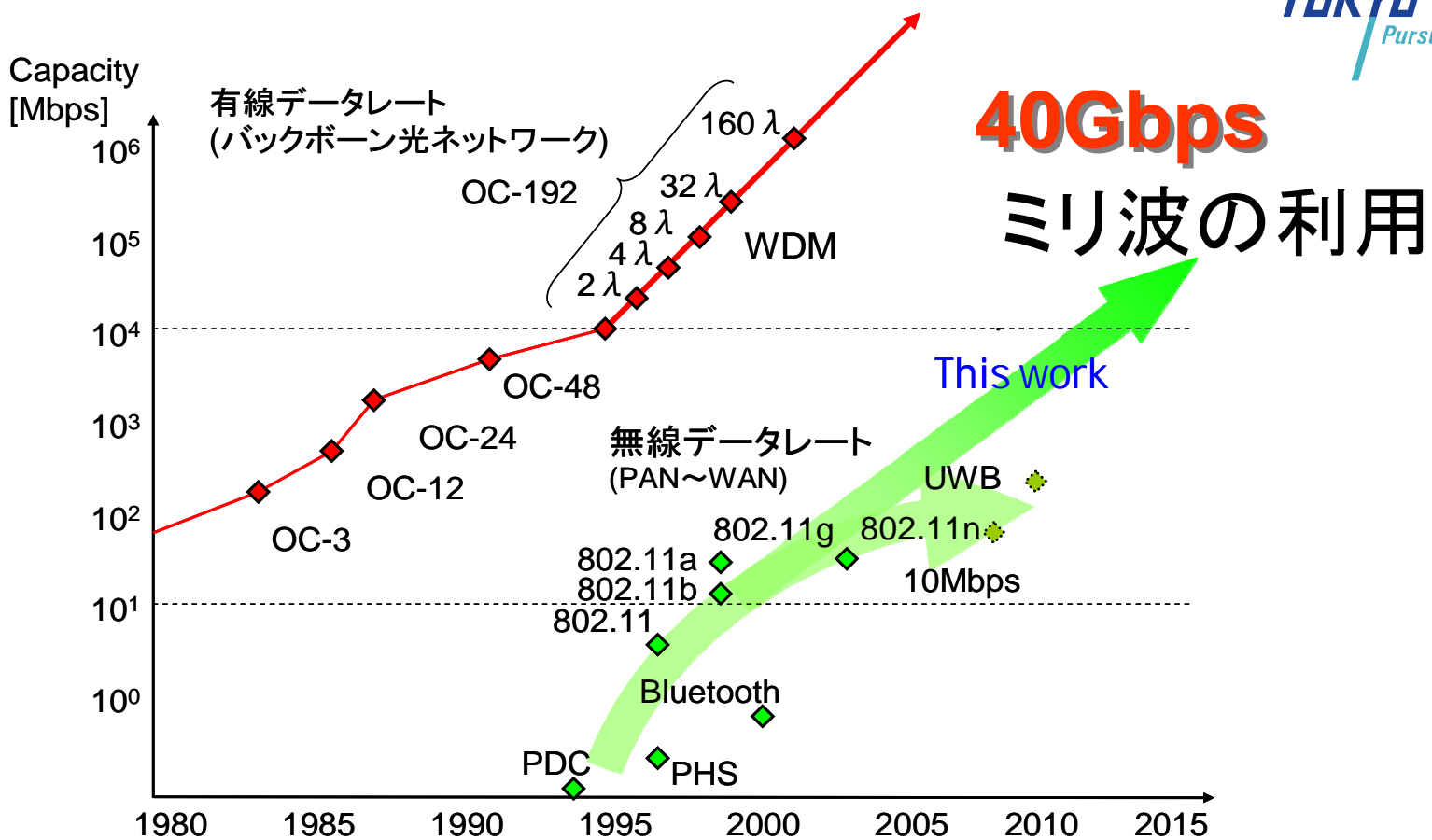
岡田 健一  
東京工業大学

2009/11/5

- RF回路研究の動向
  - -ミリ波
  - マルチバンド
  - 低電圧

# 無線スケーリング

3



コンテンツの情報量  $\propto$  LSIの性能  
有線の通信速度  $\propto$  LSIの性能  
無線の通信速度  $\propto$  周波数帯域



ミリ波による  
超高速無線通信

# ミリ波帯を利用した無線通信

60GHz帯を用いた近距離  
無線通信が検討されている

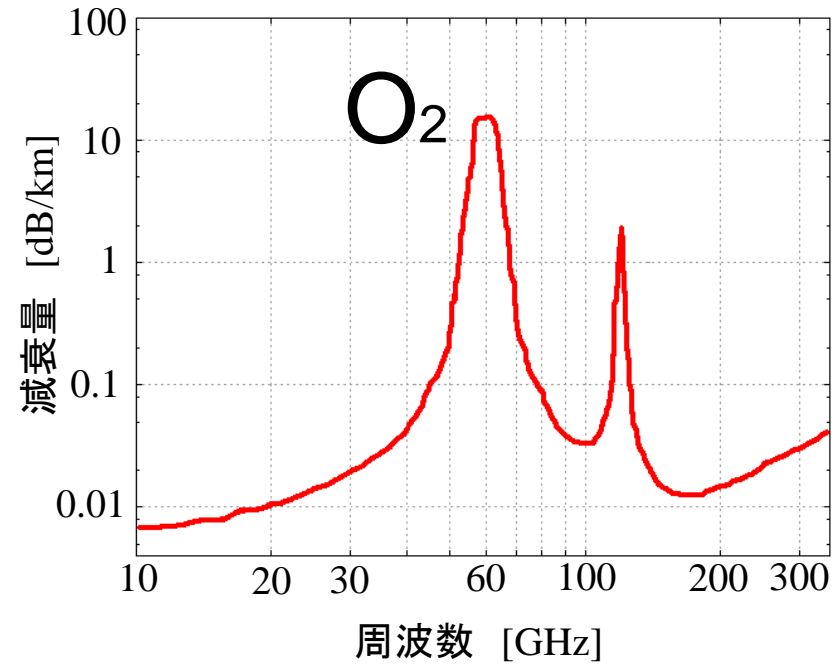
60GHz帯の電波は酸素分子と  
共振し、吸収されてしまう



遠くに飛ばない反面、  
干渉を受けにくい

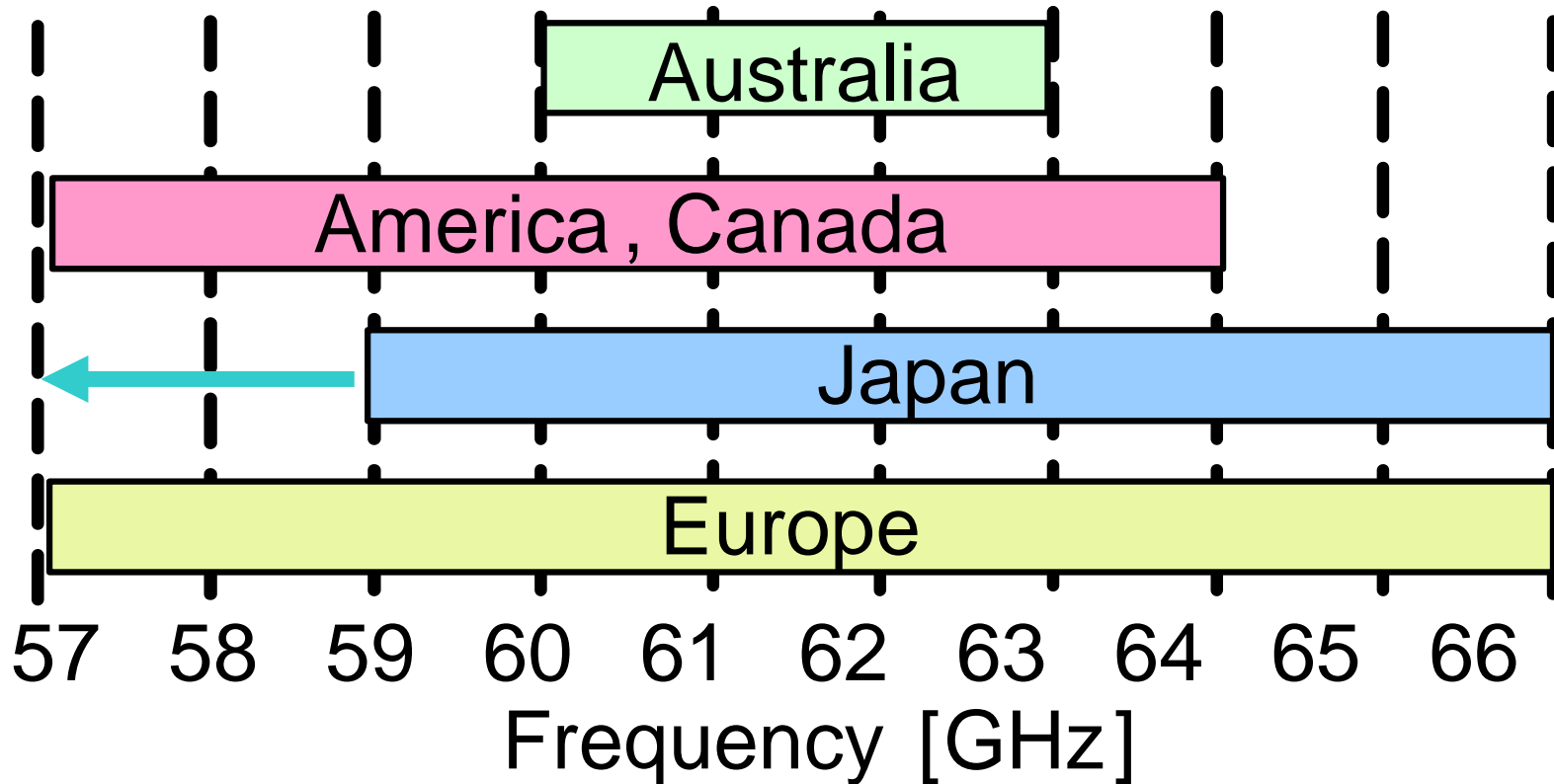


無免許で使用できるため  
超高速近距離通信に適応



[1] Rec. ITU-R P.676-2, Feb. 1997

## 60GHz unlicensed band



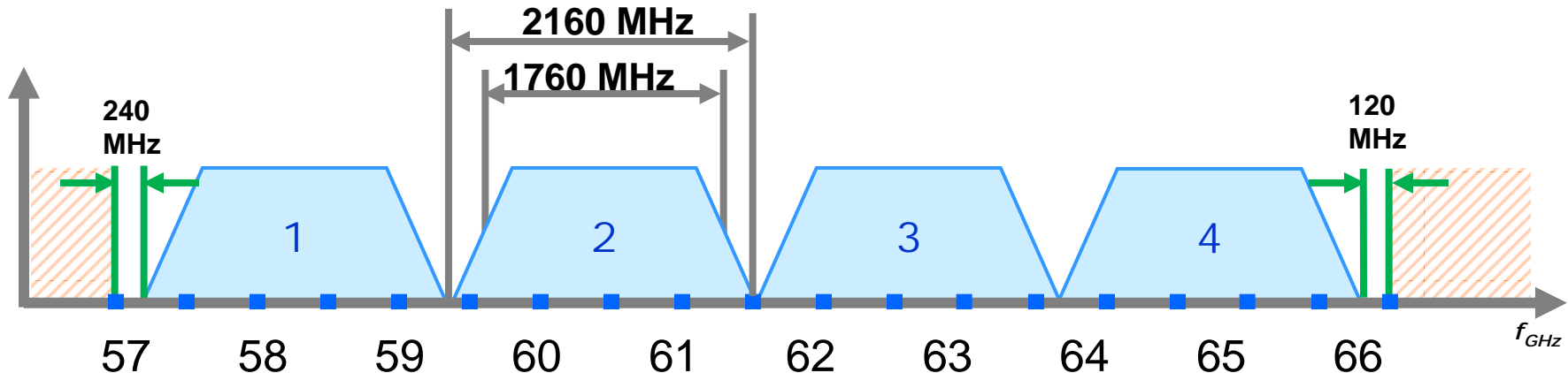
[1] <http://www.tele.soumu.go.jp>

# 60GHz channel plan

IEEE802.15.3c

Ref: IEEE 802.15-09-192-003c with draft doc.

Channel Number	Low Freq. (GHz)	Center Freq. (GHz)	High Freq. (GHz)	Nyquist BW (MHz)	Roll-Off Factor
A1	57.240	58.320	59.400	1760	0.227
A2	59.400	60.480	61.560	1760	0.227
A3	61.560	62.640	63.720	1760	0.227
A4	63.720	64.800	65.880	1760	0.227



4 channel of 2.16GHz-BW

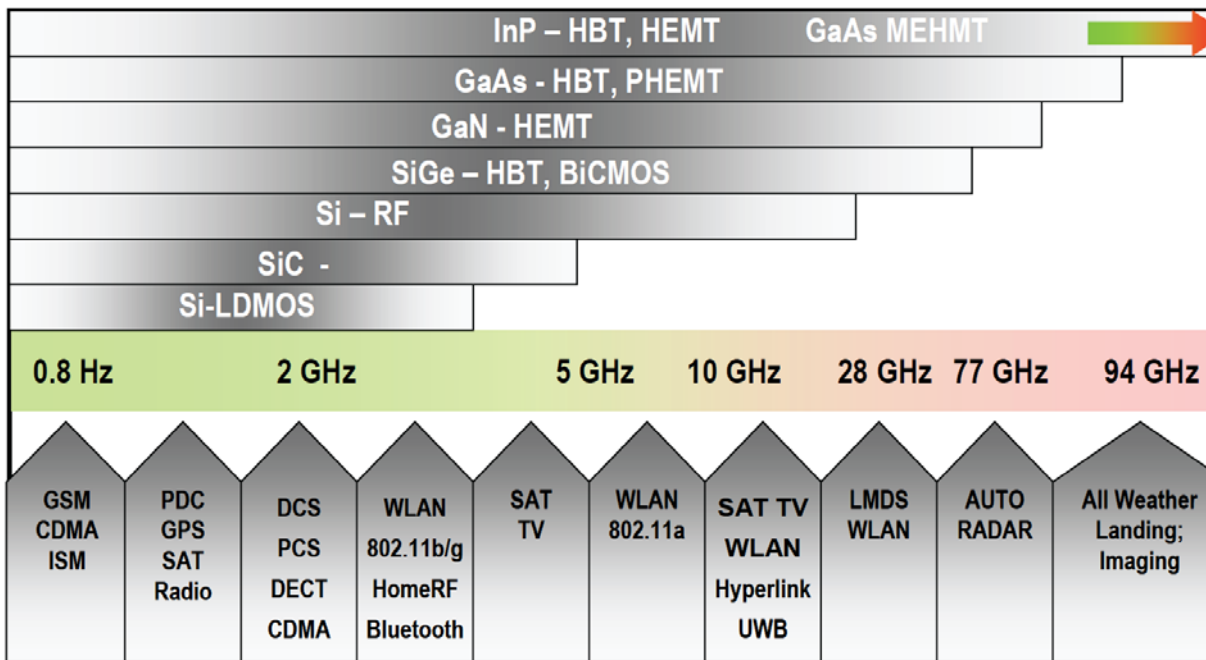
## 共通課題

- ABB, DBBとのCMOSワンチップ化
- 60GHzでのダイレクトコンバージョン
- PAの $P_{1dB} > 10\text{dBm}$  ( $\text{PAE} > 10\%$ )
- LNAの $\text{NF} < 6\text{dB}$

## 40Gbps(64QAM)の課題

- PA, LNAの広帯域化
- VCOの位相雑音  $< -95\text{dBc/Hz}$  @ 1MHz-offset
- ADC >10bit, 3.62GSps
- DAC >12bit, 3.62GSps

# RF向けトランジスタ動向



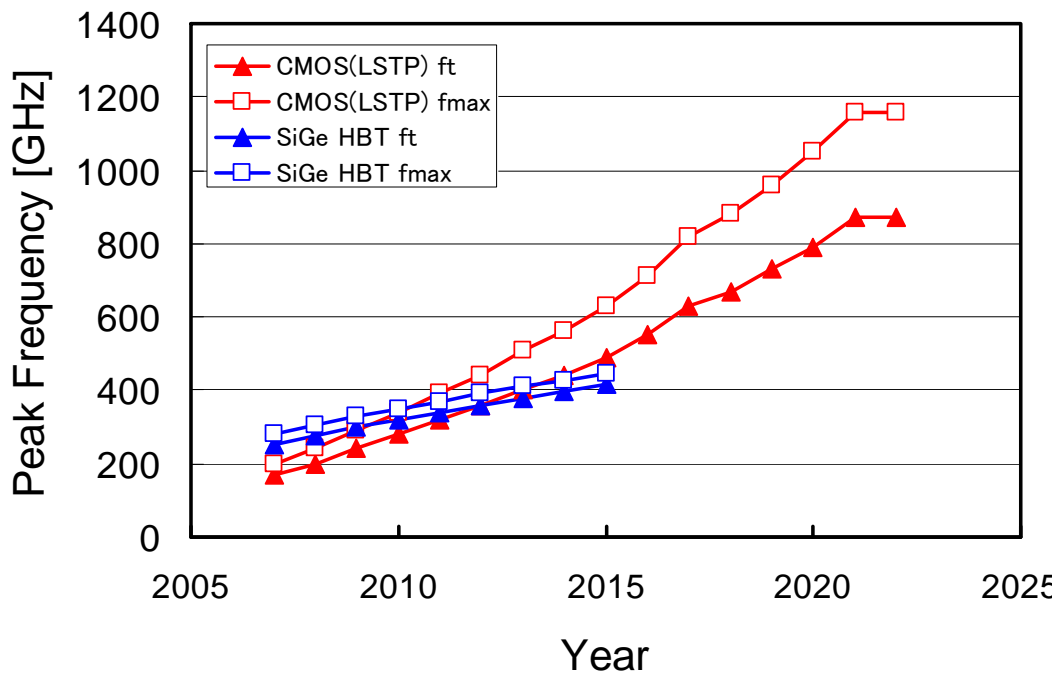
2007 ITRS page 2, Figure RFAMS1

- コスト要因でデバイスが選択される

携帯端末用PA (10GHz以下)

GaAs HBT, (Si-LDMOS) ⇒ SiGe HBT, RF CMOS

# Why CMOS?



Cellular系: PAを除きCMOS化が進行  
データ通信系\*: すべてCMOS化

\*WLAN, Bluetooth, UWB等の室内向け無線通信

- ・集積化による低コスト化
- ・キャリブレーション技術による性能向上

# CMOSの特徴

## 長所

- ・デイジタル回路と同じチップに混載できること  
    ⇒コスト面での優位(最大の利点)  
    ⇒デイジタルアシステッド技術の利用
- ・性能面の優位は、 $f_T$ ,  $f_{max}$ が高いことだけ

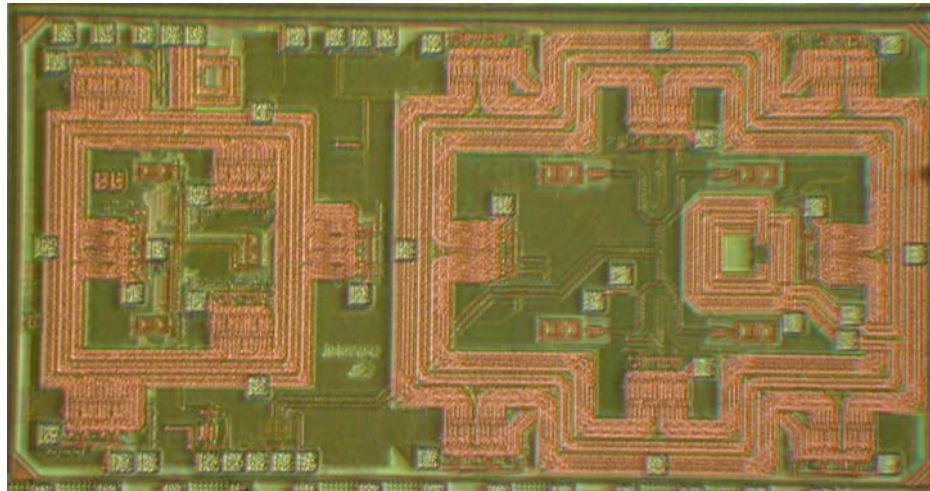
## 短所

- ・耐圧が低い (微細化について低下)
- ・ゲインが低い (微細化するとより下がる)
- ・Passive素子のロスが大きい (微細化するとより悪化)
- ・ノイズが大きい
- ・微細化につれて製造コストが増加

- GSM/GPRS Quad-band対応  
PAE

51% in low bands (GSM 850) (35dBm)  
45% in high bands (GSM 900) (33dBm)

- 2-Million device-hour of operation without a single failure under full power and elevated temperature
- Zero field return in more than 10Million units shipped.

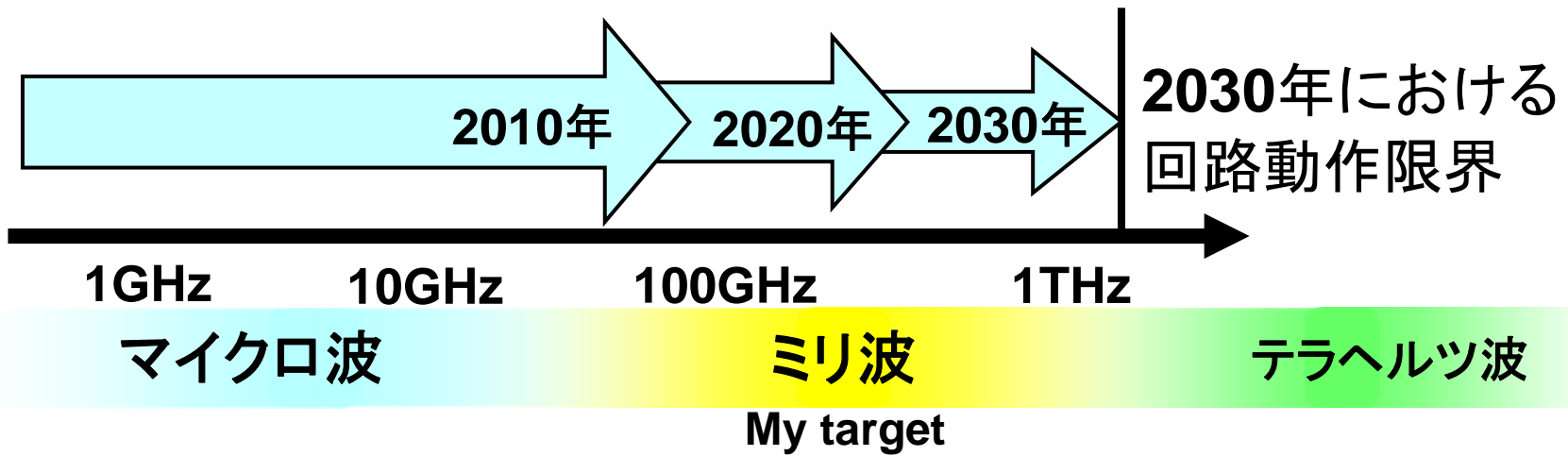


デバイスの性能がでない分、  
工夫で性能をかせぐ

I.Aoki et al., ISSCC, 2008. (Axiom Microdevices)

2009/11/5

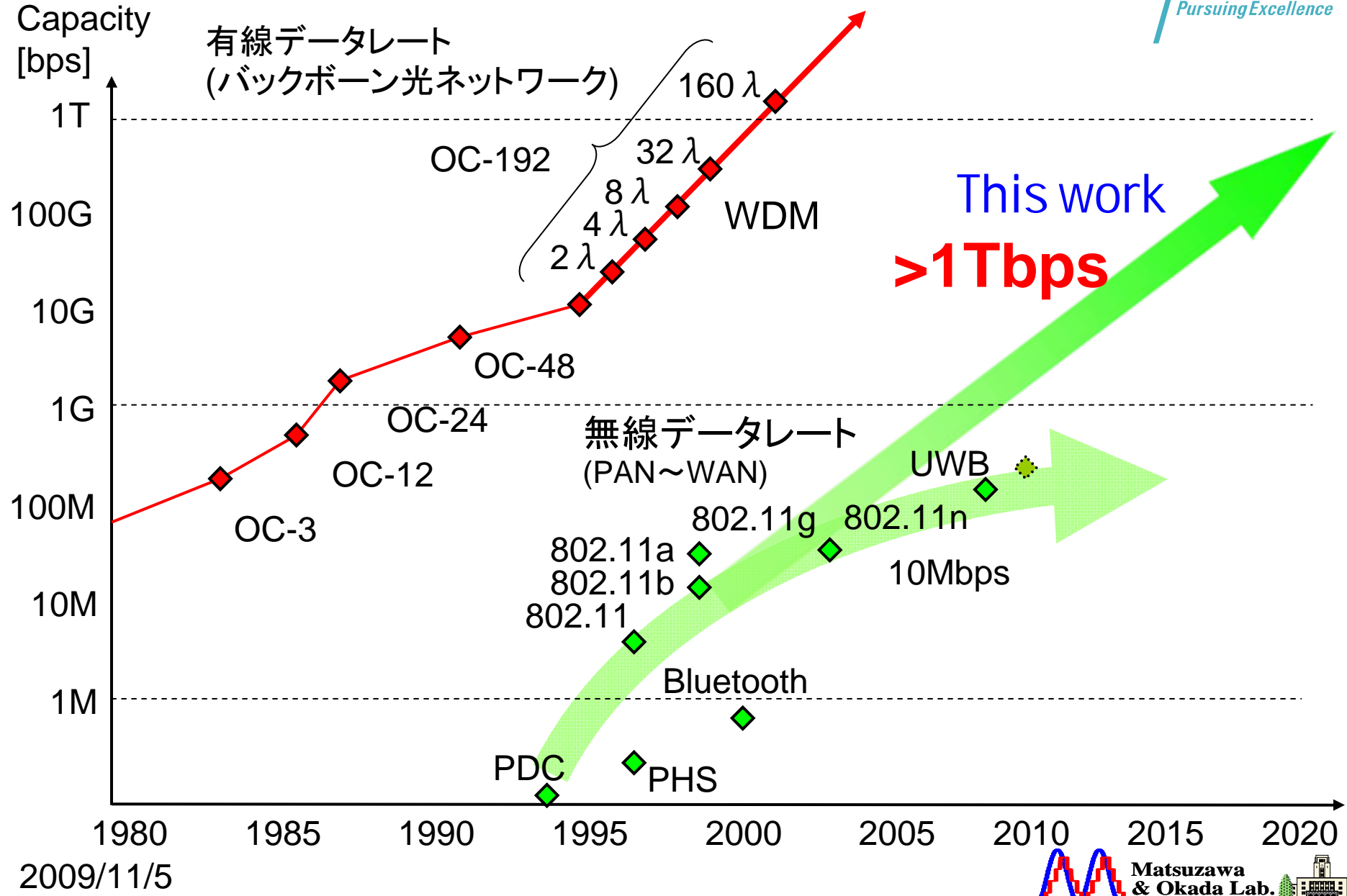
# さらにその先



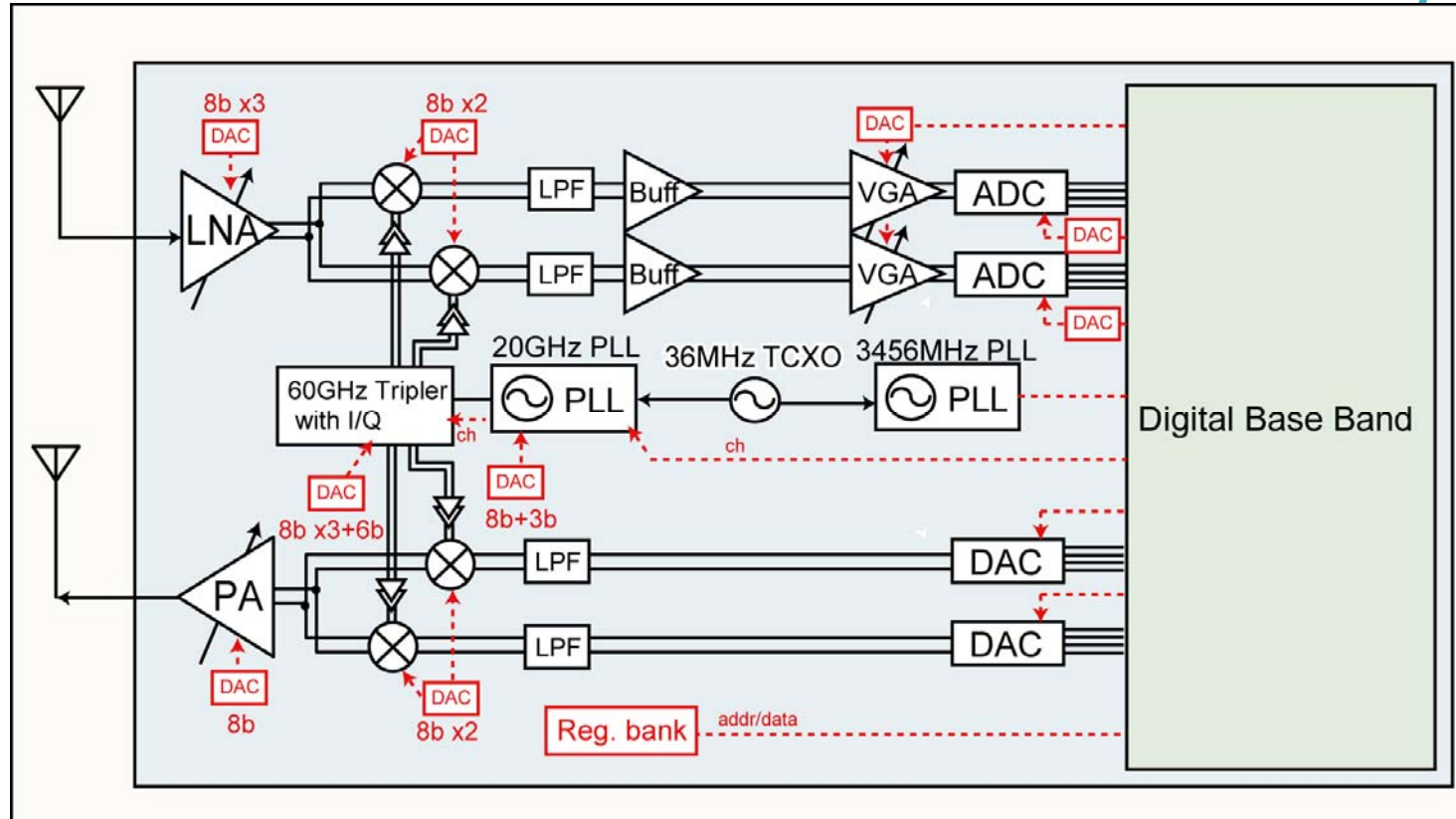
F.Y.	2010年	2020年	2030年
最大発振周波数 ( $f_{max}$ )	0.2THz	1THz	5THz (予測)
キャリア周波数	60GHz	300GHz	1.5THz
伝送レート	40Gbps	200Gbps	1Tbps

# さらにその先

13



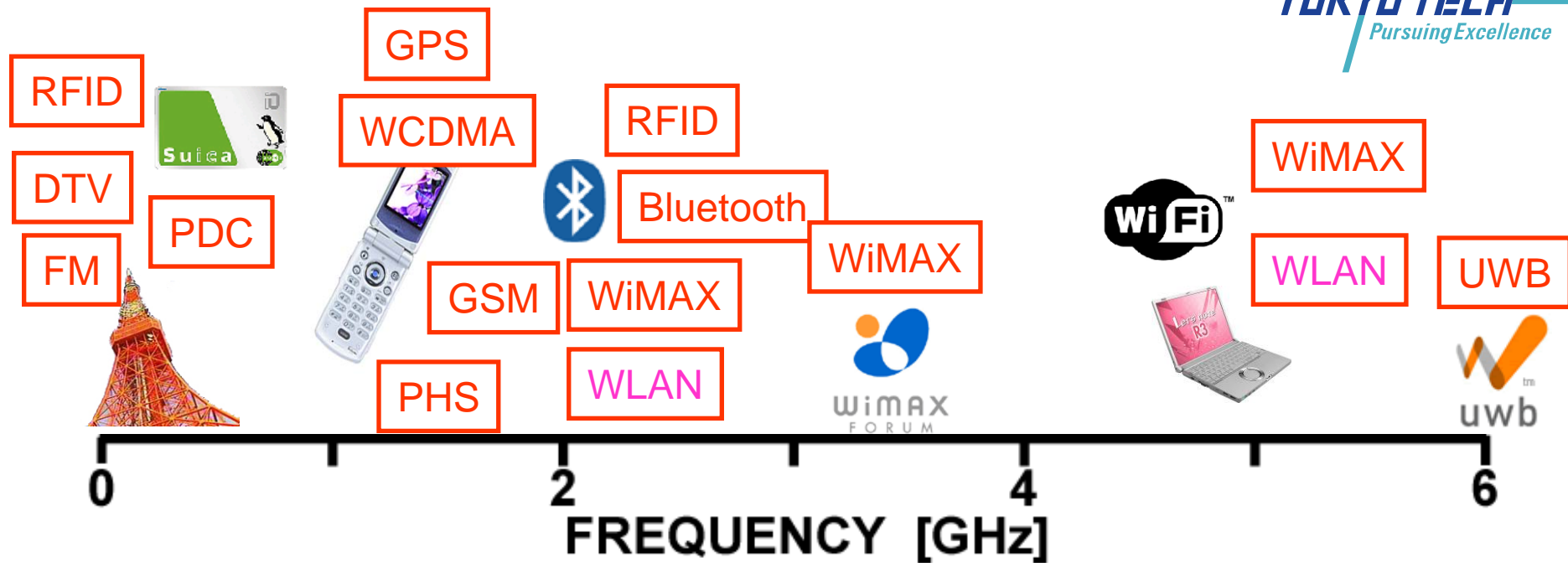
# Our target



60GHz 2.16GHz-**full 4ch direct-conversion** by CMOS  
**QPSK 64QAM 40Gbps**  
 IEEE 802.15.3c conformance  
 Dynamic power management: <300mW for RF front-end

- RF回路研究の動向
  - ミリ波
  - – マルチバンド
  - 低電圧

# マルチバンド無線機が必要

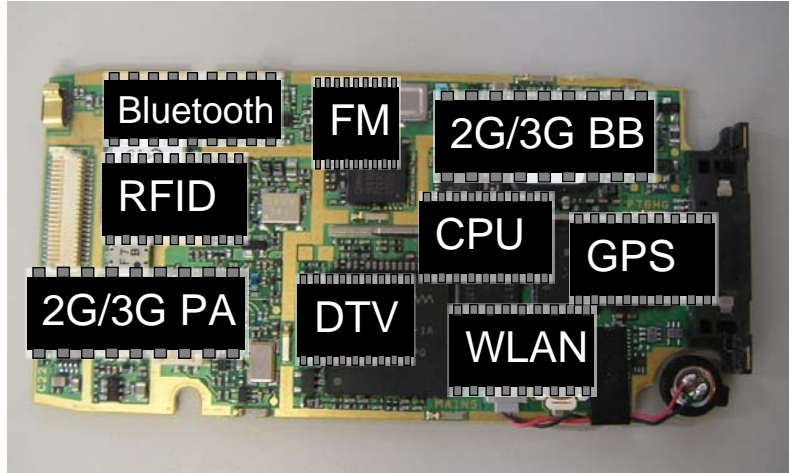


## Mobile Communication Device

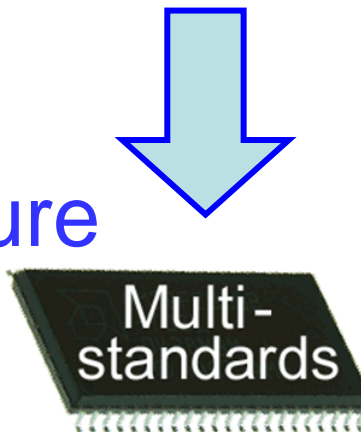
- More multi-band mode functions
- Smaller size
- Lower power operation

全ての周波数帯をカバーするRFフロントエンドをワンチップで実現

## Current



Future



# 3GPP周波数割り当て

バンド	uplink	downlink	備考
I	1920 ~ 1980 MHz	2110 ~ 2170 MHz	日本(FOMA, au, SB)、アジア、欧州等
II	1850 ~ 1910 MHz	1930 ~ 1990 MHz	米国 (PCS 1900でも利用)
III	1710 ~ 1785 MHz	1805 ~ 1880 MHz	欧州 (DCS 1800でも利用)
IV	1710 ~ 1755 MHz	2110 ~ 2155 MHz	米国
V	824 ~ 849 MHz	869 ~ 894MHz	米国、豪州 (GSM 850でも利用)
VI	830 ~ 840 MHz	875 ~ 885 MHz	日本 (FOMA, au)
VII	2500 ~ 2570 MHz	2620 ~ 2690 MHz	欧州
VIII	880 ~ 915 MHz	925 ~ 960 MHz	欧州 (GSM 900でも利用)
IX	1749.9 ~ 1784.9 MHz	1844.9 ~ 1879.9 MHz	日本(FOMA)
X	1710 ~ 1770 MHz	2110 ~ 2170 MHz	
XI	1427.9 ~ 1452.9 MHz	1475.9 ~ 1500.9 MHz	日本 (旧シティフォン)

LTEへの対応 (Band 12,13,14,17,33,..,40)

- Mobile phone 800MHz, 1.5GHz, 1.7GHz, 1.9GHz, 2GHz
  - (+ 800MHz, 900MHz, 1.8GHz, 1.9GHz for GSM)
  - (+ 1700MHz, 2100MHz, 2600MHz,... for LTE)
- WLAN 802.11b/g/n, Bluetooth 2.45GHz
- WLAN 802.11a/n 4.9GHz – 5.875GHz
- GPS 1.2GHz/1.5GHz
- DTV 440MHz – 770MHz
- UWB 3.1GHz – 10.6GHz

チップ数・チップ面積の増大 → 製造コスト・端末寸法

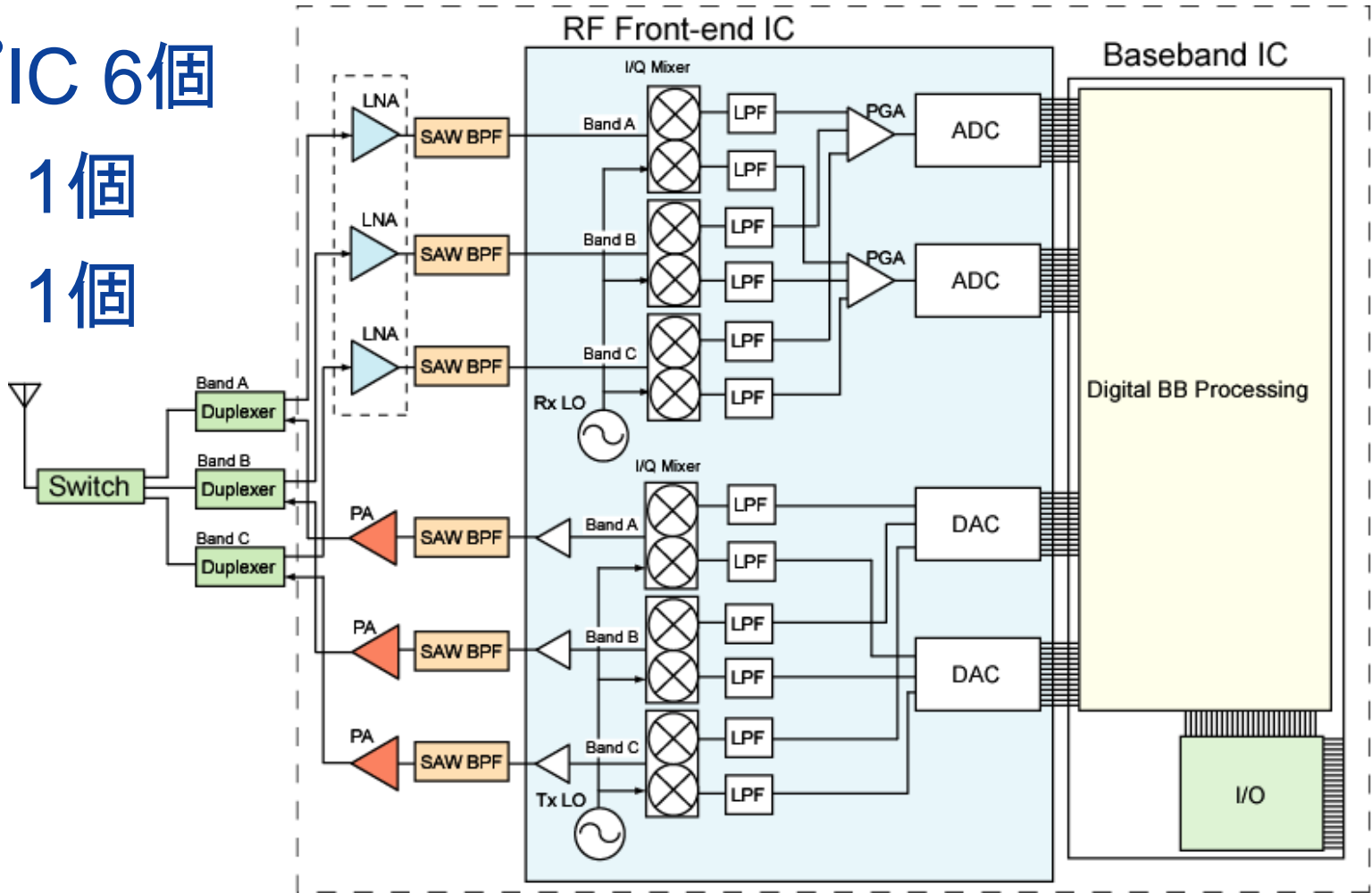
400MHz～10GHzのアプリケーションへの対応

フィルタ 10個

アンプIC 6個

RF IC 1個

BB IC 1個



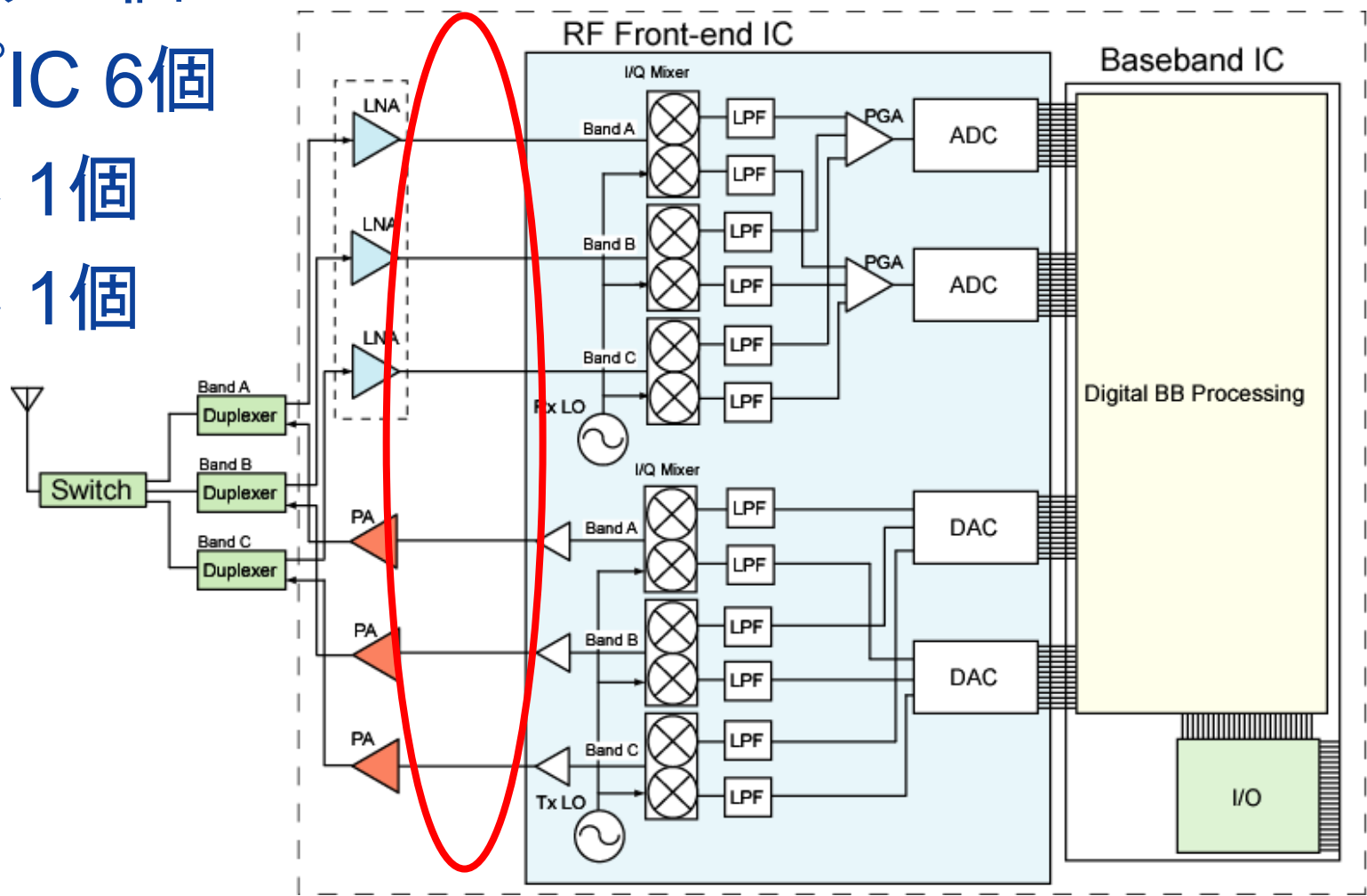
# 段間フィルタの削減

フィルタ 4個

アンプIC 6個

RF IC 1個

BB IC 1個



# 複数バンドの統合

フィルタ 6個

LNA統合

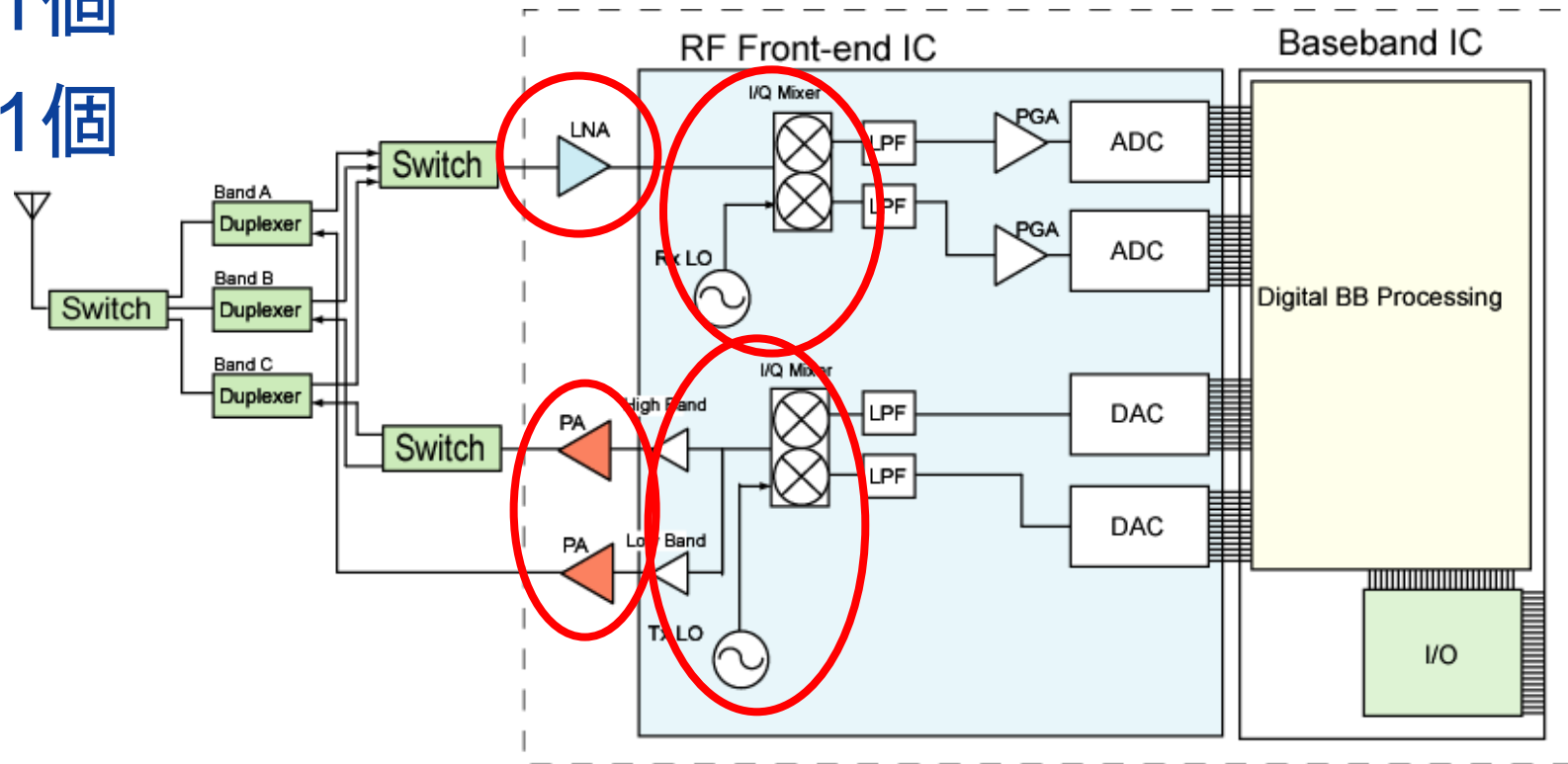
アンプIC 3個

PA統合(一部)

RF IC 1個

LO,Mix統合

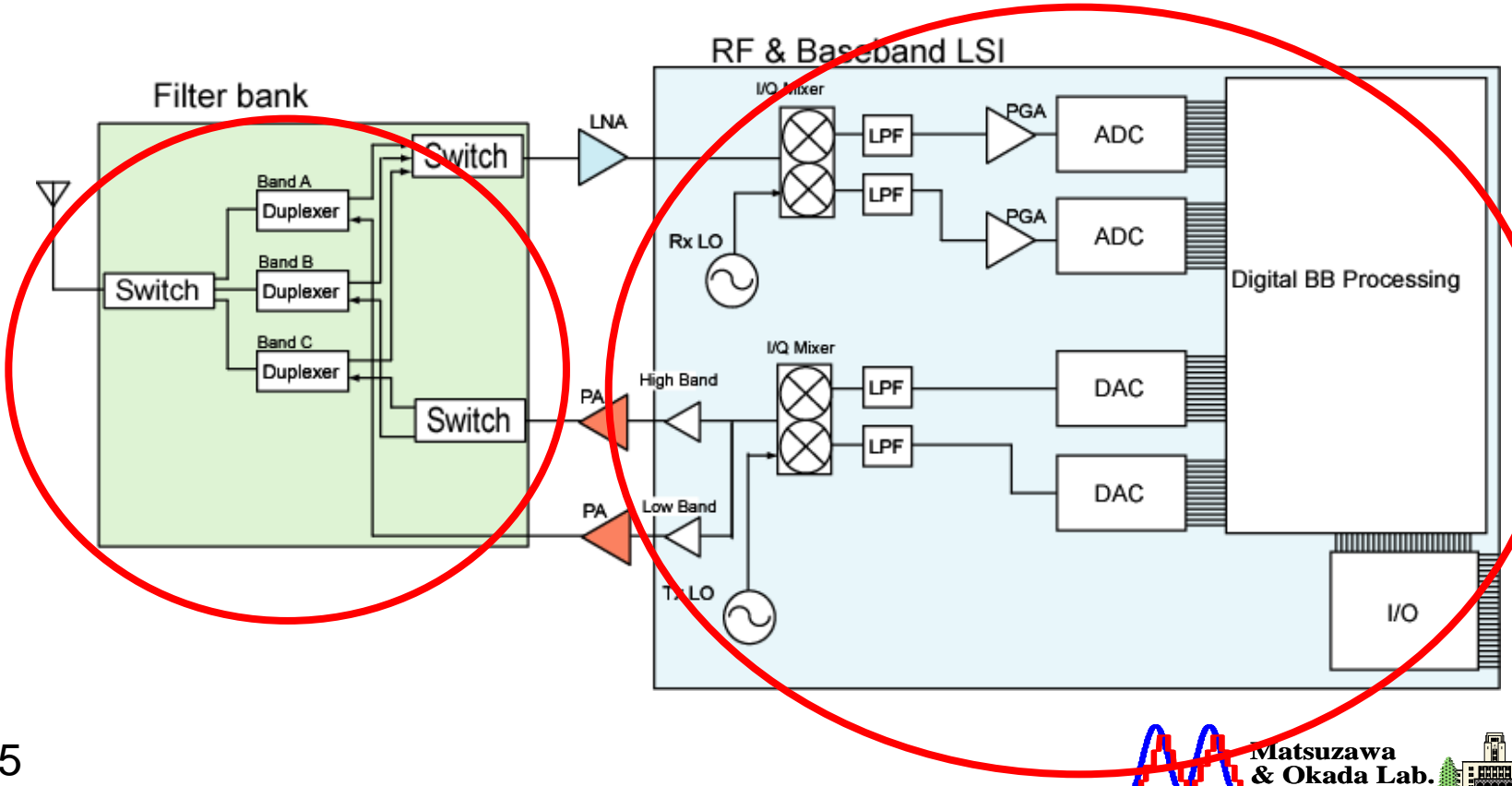
BB IC 1個



フィルタ 1個

アンプIC 3個

RF&BB LSI 1個

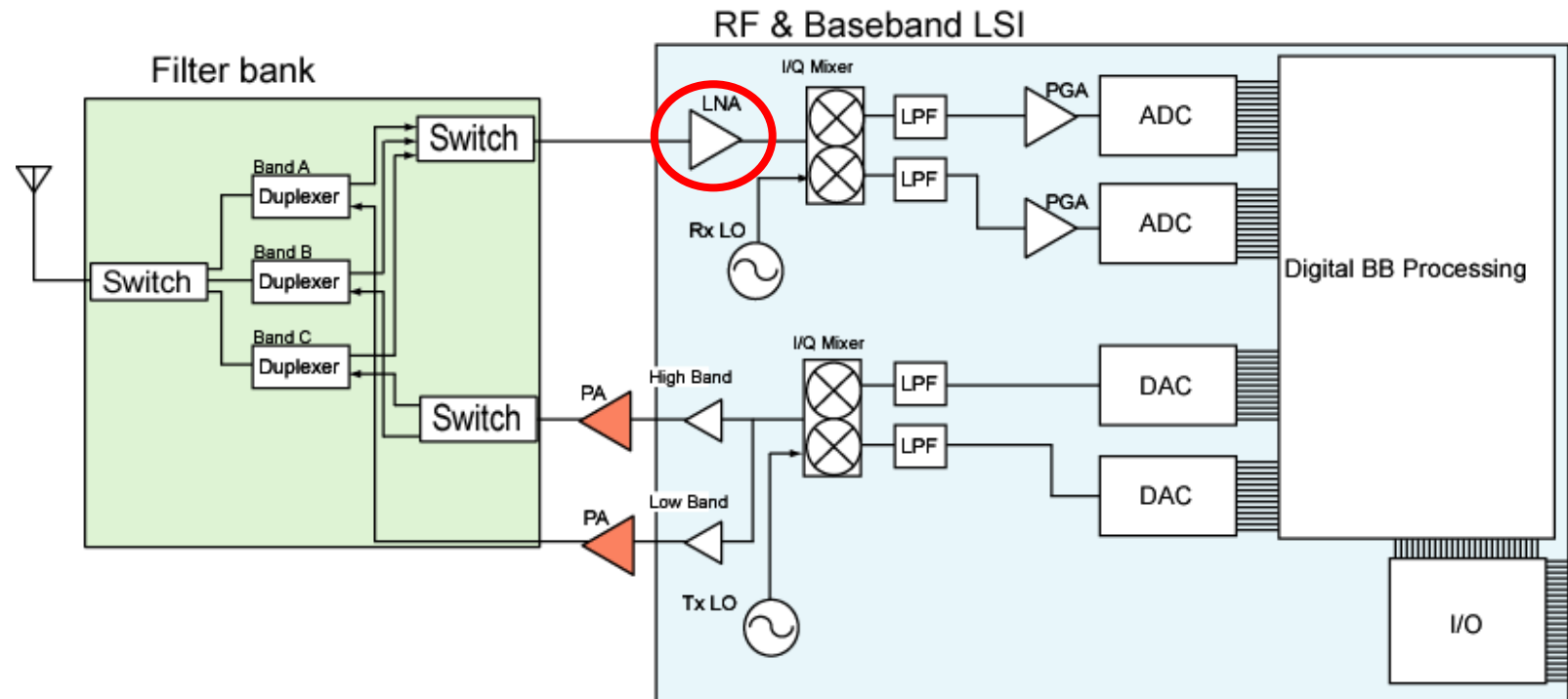


# LNA内蔵

フィルタ 1個

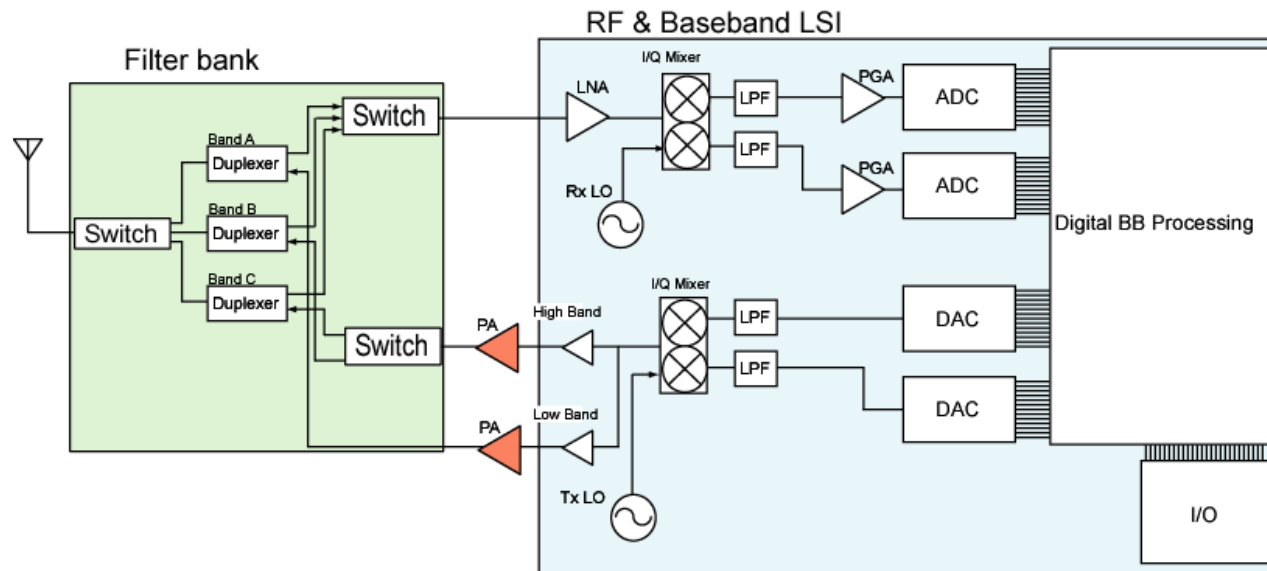
アンプIC 2個

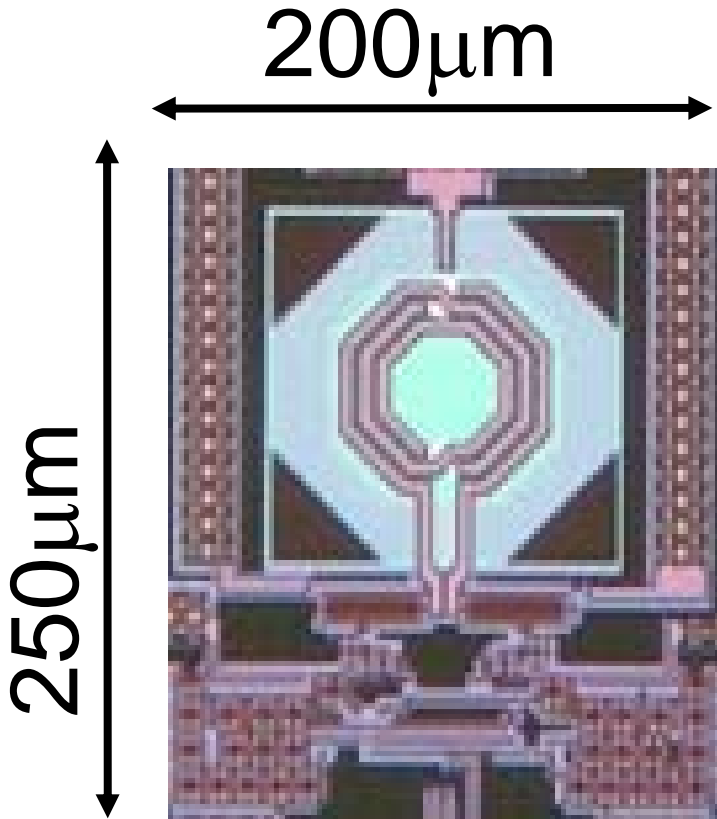
RF&BB LSI 1個



LNA内蔵-段間フィルタ、Filter部の統合の順番はoptional

- VCOのマルチバンド化
- マルチバンドLNA・Mixerの高線形化
- マルチバンドPAの出力電力・PAE改善
- PAのチューナブル化
- Duplexerのマルチバンド化



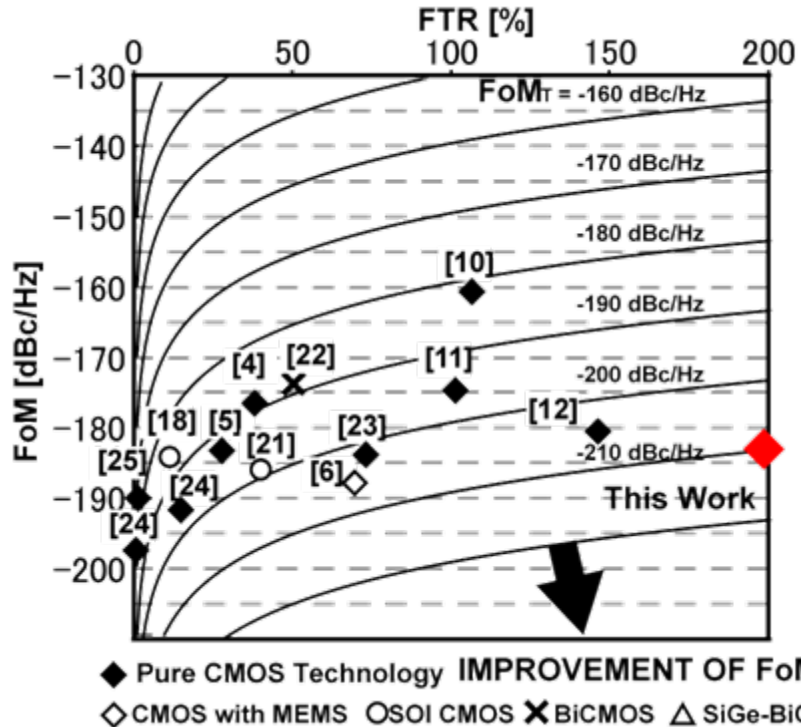


**CMOS 90nm**

**FTR: 9.3MHz~5.7GHz**

**FoMT: -210dBc/Hz**

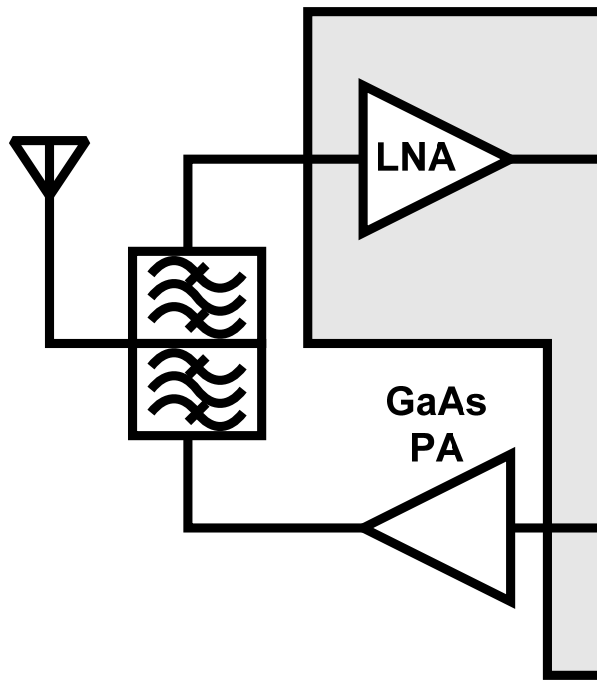
**Pdc: 5.9 - 11.2 mW**



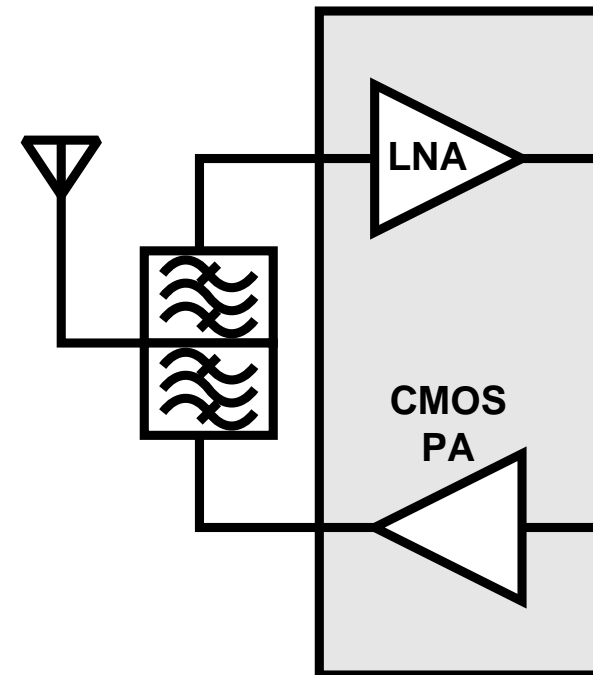
# Single chip transceiver

27

## ■ Now



## ■ Future



- Conventionally, PA is fabricated in compound semiconductor such as GaAs
- Recently, CMOS PA is under hot debated to realize single chip transceiver

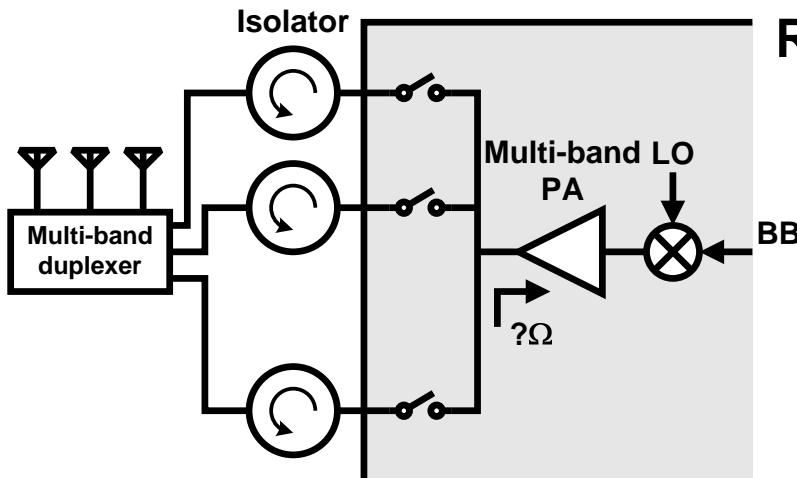
- Function of isolators

- Maintain PA's output impedance  $50\Omega$
- Protect PA from reflected wave

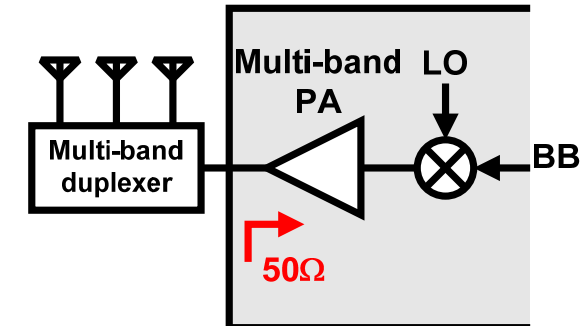
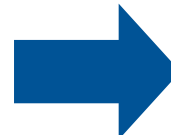
The isolator is not necessary if PA has  $50\Omega$  output impedance

- Conventional

- Proposed



Reducing off-chip component



# Output impedance tuning 1

29

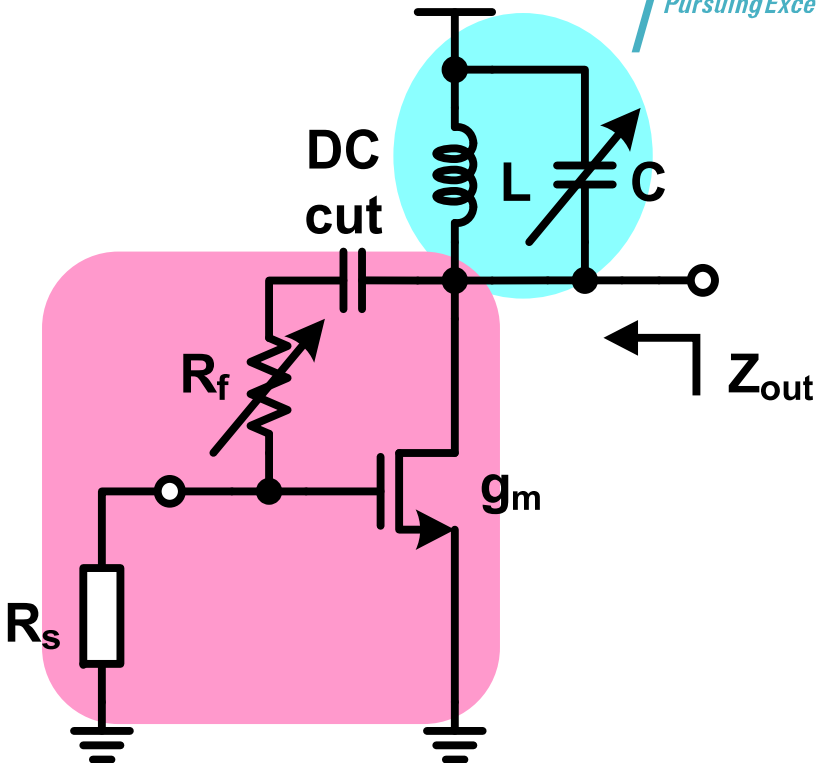
If  $r_{ds}=\infty$ ,

$$Z_{out} = \frac{R_f + R_s}{g_m R_s + 1} \parallel \frac{1}{j\omega C} \parallel (R_L + j\omega L)$$

When  $f = \frac{1}{2\pi\sqrt{LC}}$

(Resonance frequency)

$$Z_{out} = \frac{R_f + R_s}{g_m R_s + 1} \parallel \frac{L}{CR_L}$$



$R_s$  : source impedance ( $50\Omega$ )

$R_L$  : inductor parasitic resistance

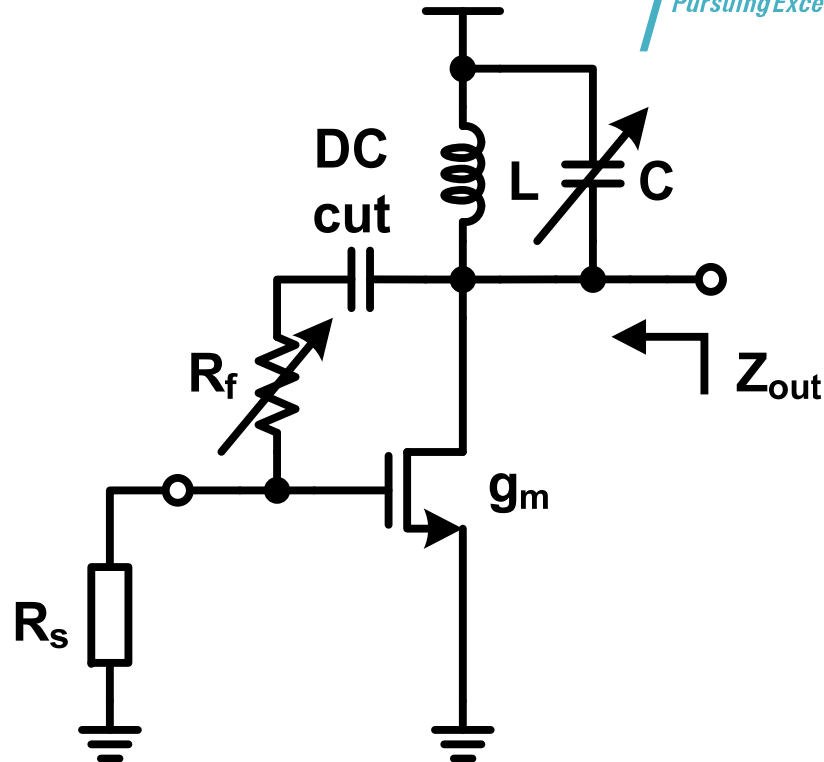
Tune C to cancel imaginary part of  $Z_{out}$  at arbitrary frequency

# Output impedance tuning 2

30

$$Z_{out} = \frac{R_f + R_s}{g_m R_s + 1} \parallel \frac{L}{C R_L}$$

- Tune  $R_f$  to match  $Z_{out}$  to  $50\Omega$
- $Z_{out}$  depends on the value of  $C$ , so  $R_f$  needs to be changed according to the matching frequency



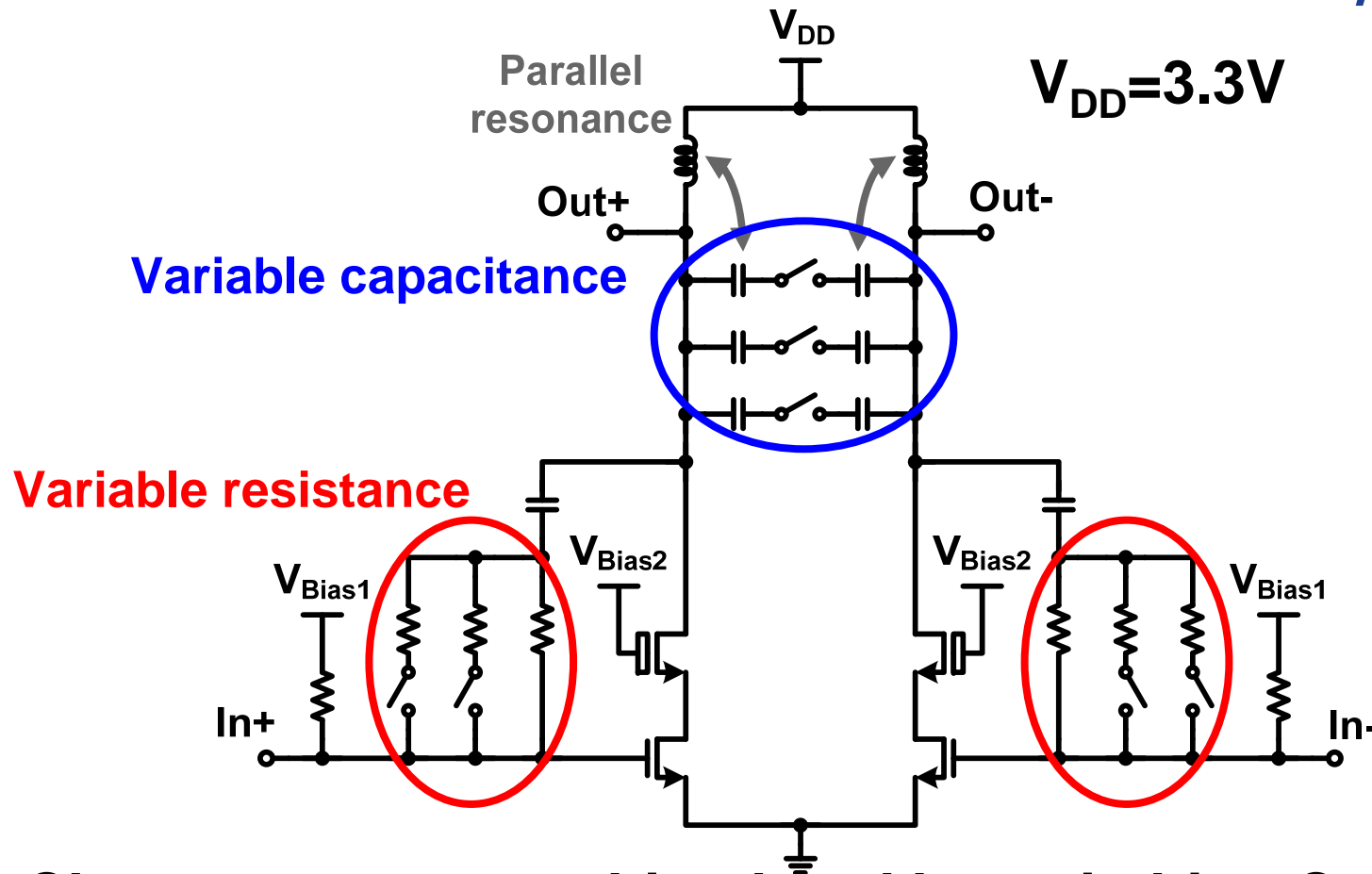
$R_s$  : source impedance ( $50\Omega$ )

$R_L$  : inductor parasitic resistance

In fact,  $r_{ds}$  is small... → Cascode topology is used

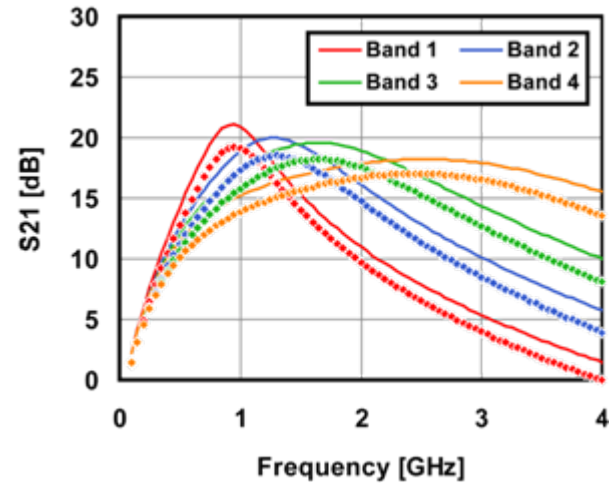
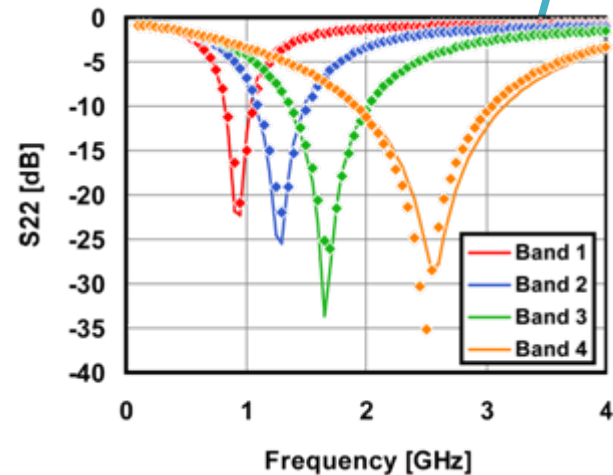
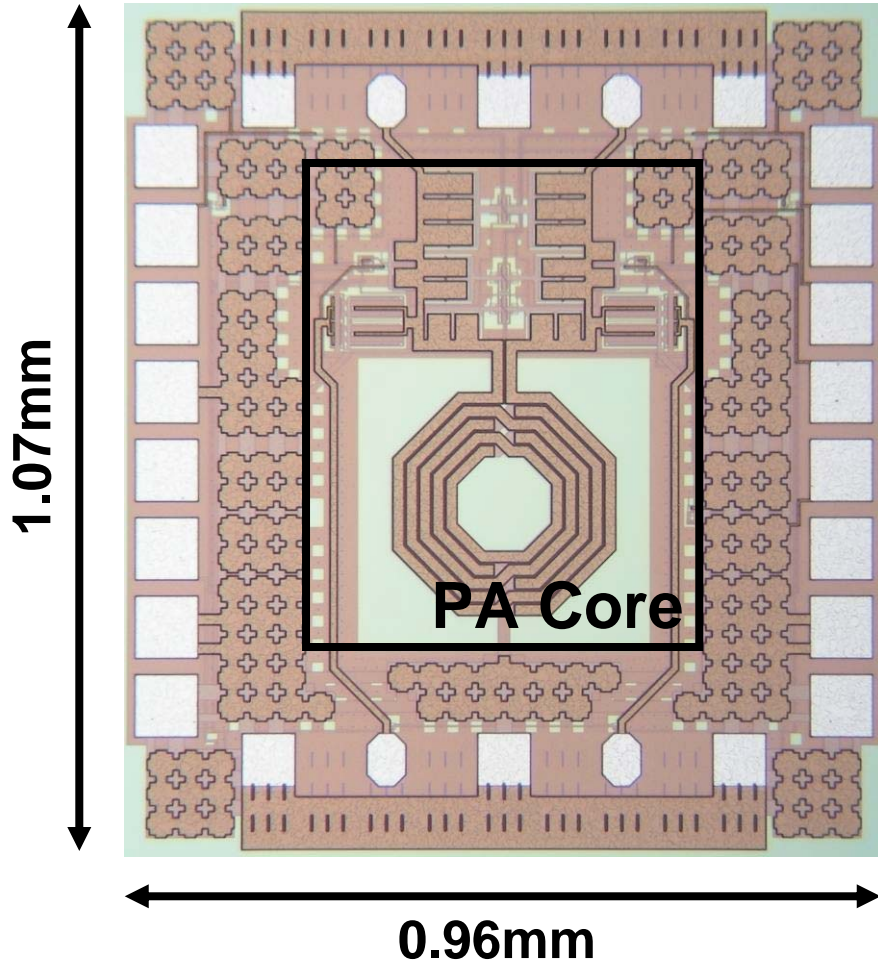
# Schematic of the proposed PA

31



- Change output matching band by switching C and R
- Differential topology for 3dB larger  $P_{sat}$
- Class-A bias

CMOS 180nm  
0.8~3.0GHz PA



$P_{sat}=22\text{dBm}$ , PAE=23%

# Comparison of CMOS PAs

33

	Technology	V <sub>DD</sub> [V]	Frequency [GHz]	P <sub>sat</sub> [dBm]	PAE@peak [%]	Area [mm <sup>2</sup> ]	Output matching
[4] RFIC '04	0.13μm CMOS	2.0	2.0 ~ 8.0	7 ~ 10	2 (@1dB)	—	Wideband
[5] ISSCC '09	0.13μm CMOS	1.5	0.5 ~ 5.0	14 ~ 21	3 ~ 16 (drain eff.)	3.6	Wideband
[6] T-MTT '07	0.18μm CMOS	2.8	3.7 ~ 8.8	16 ~ 19	8 ~ 25	2.8	Wideband
[7] ISSCC '09	0.13μm CMOS	3.0	1.0 ~ 2.5	28 ~ 31	18 ~ 43	2.56*	Wideband
This work	0.18μm CMOS	3.3	0.9 ~ 3.0	20 ~ 22	11~ 23	1.03	<b>Tunable</b>

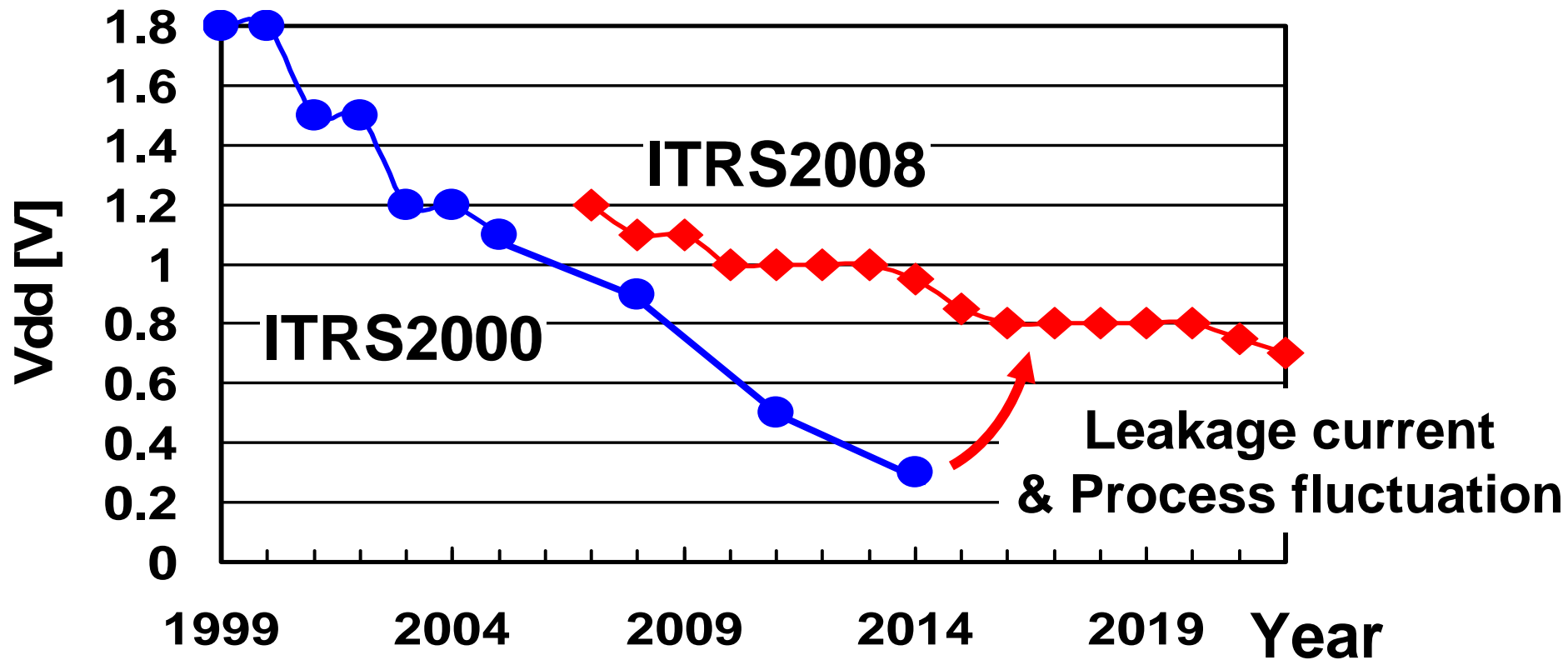
\*With distributor

ソフトウェア無線 (SDR: Software Defined Radio)  
コグニティブ無線 (Cognitive Radio)

リコンフィギュラブルRF回路により実現

- 10MHz～6GHzチューナブルVCO(世界記録)
- 世界初のチューナブルCMOS PA

- RF回路研究の動向
  - ミリ波
  - マルチバンド
  - —低電圧



The voltage scaling is required again.  
Low-voltage circuit design is challenging.

# Low-Voltage LC-VCO

- Transformer-Feedback VCO can operate with a low supply voltage.
- 0.5V and 0.35V VCOs are reported.

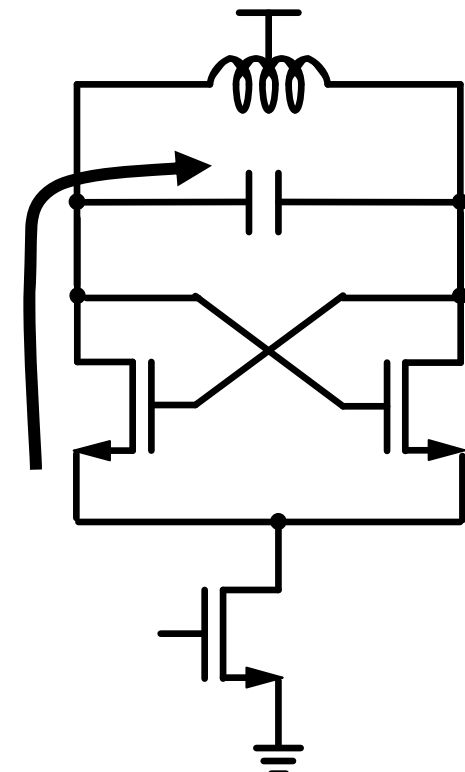
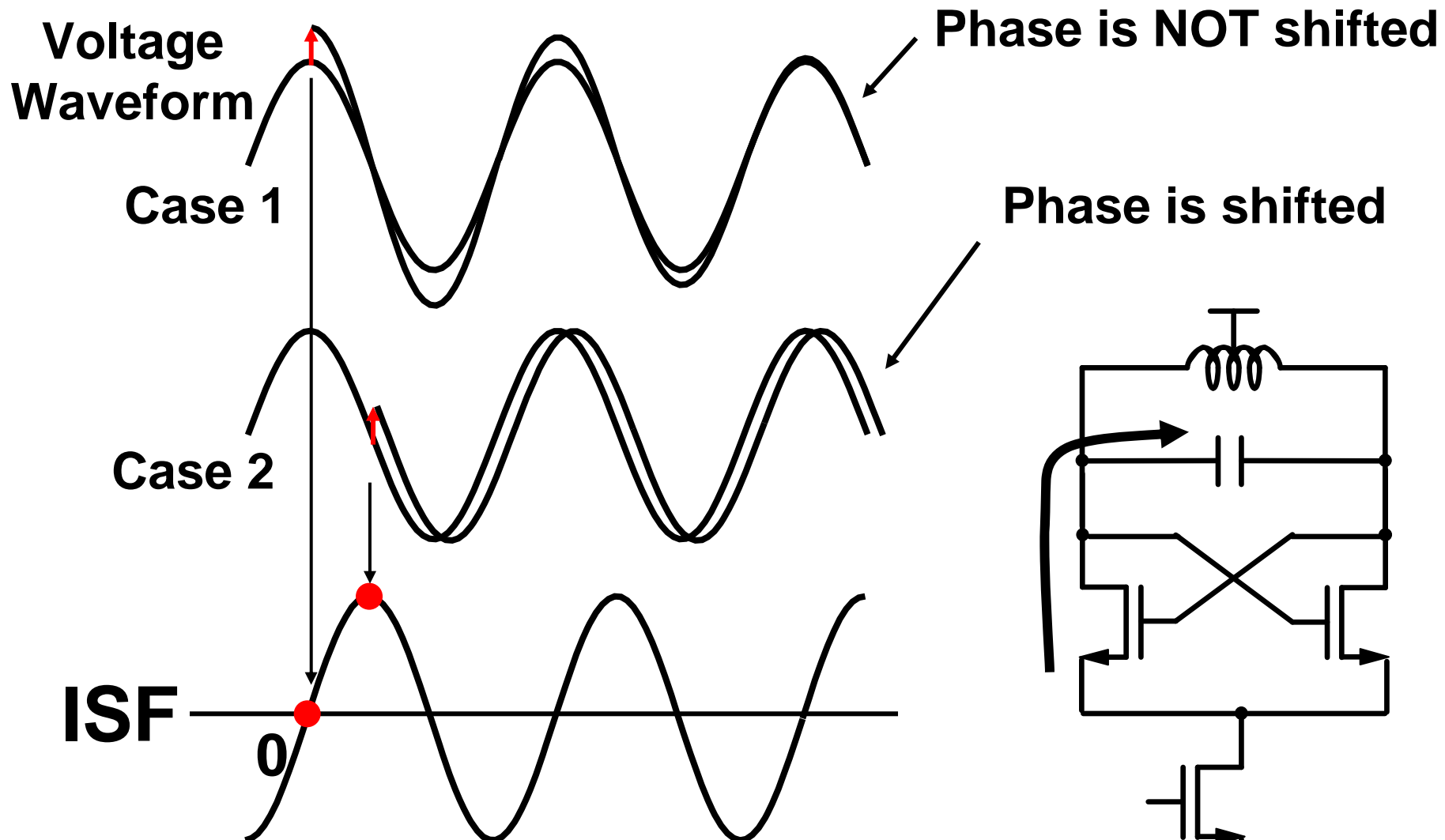
[1] K. Kwok, and H. C. Luong, JSSC 2005

- Class-C VCO achieves 196dBc/Hz of FoM.
- Startup is an issue of Class-C VCO under the low-voltage condition.

[2] A. Mazzanti, and P. Andreani, JSSC 2008

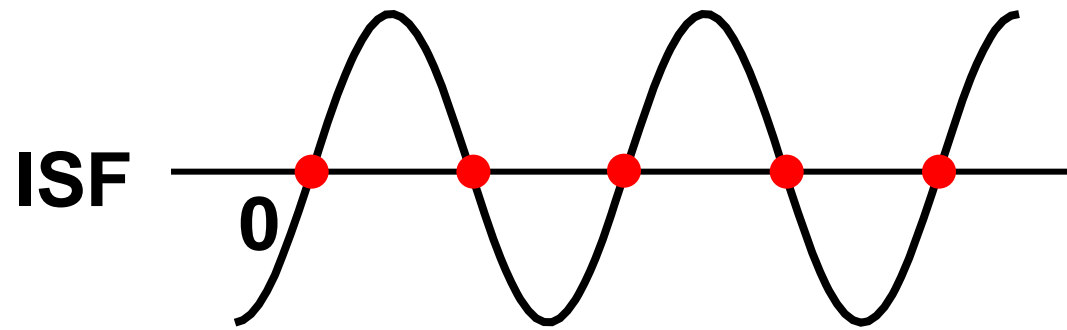
# Impulse Sensitivity Function (ISF)

39

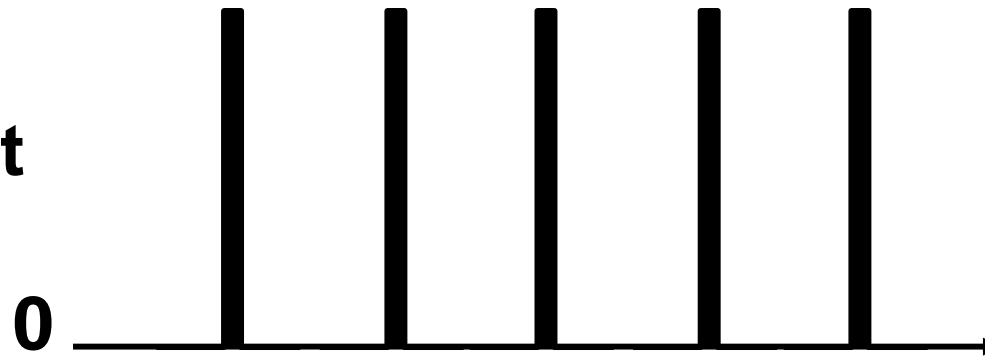


# Ideal Current Conduction

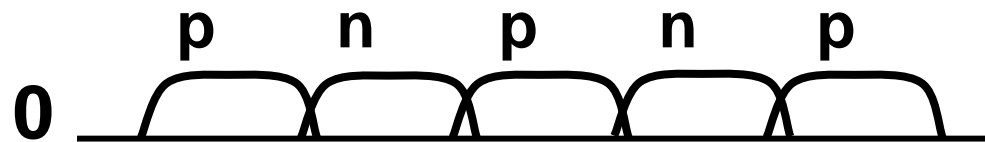
40



Ideal Current

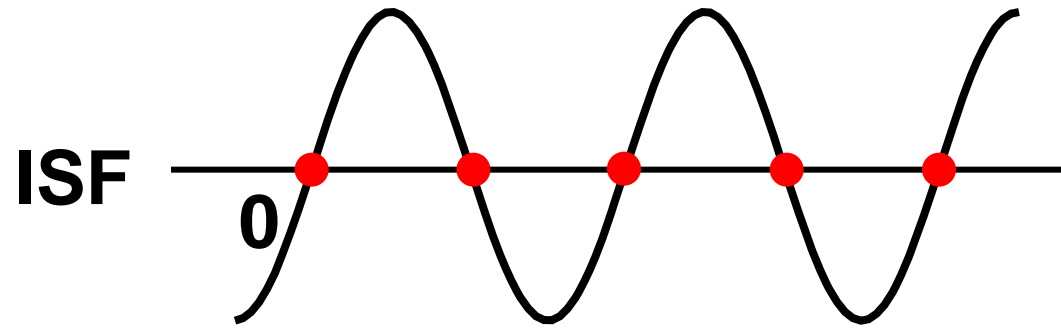


Conventional  
LC-VCO

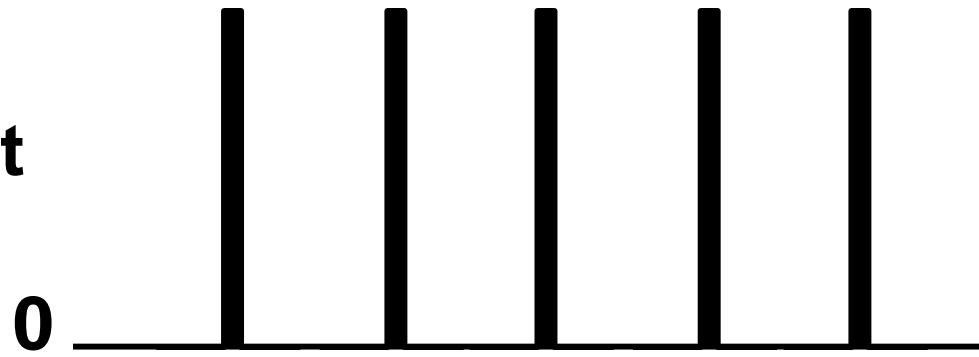


# Current Conduction of Class-C VCOs

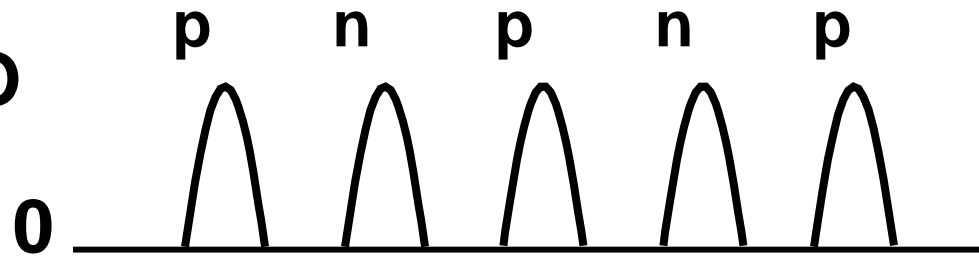
41



Ideal Current

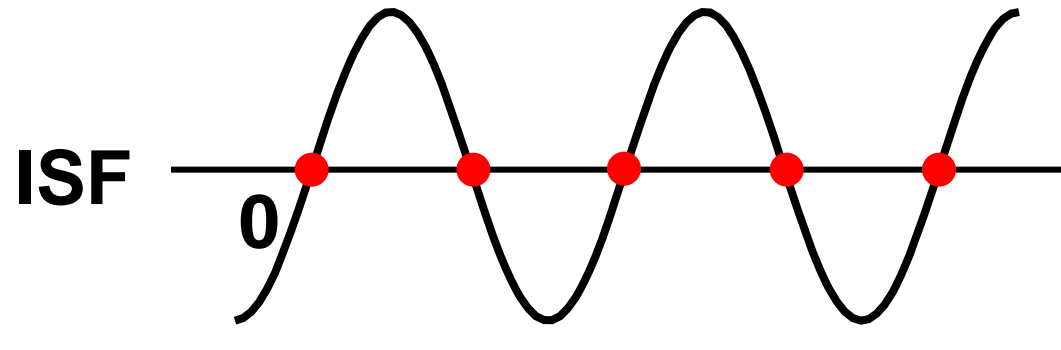


Class-C VCO

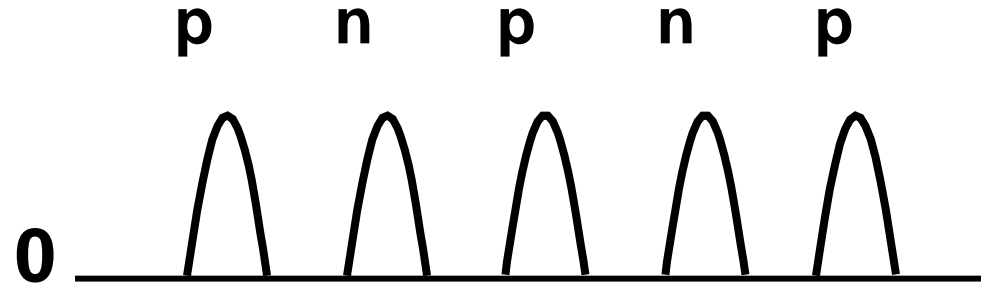


# Current Conduction of Class-C VCOs

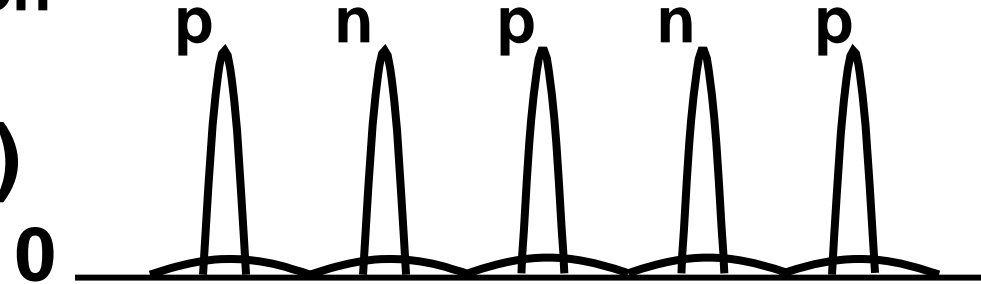
42



Class-C VCO

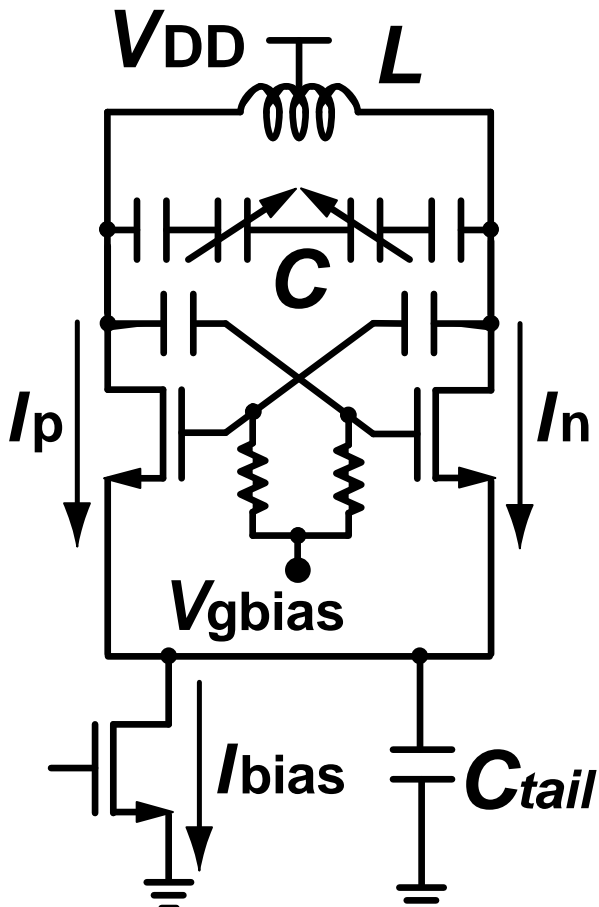


Dual-Conduction  
Class-C VCO  
(This work)



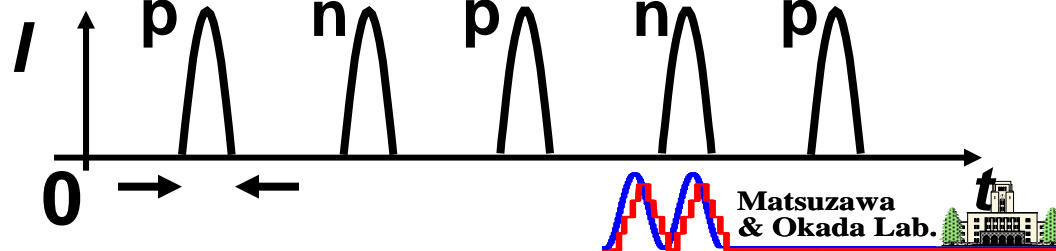
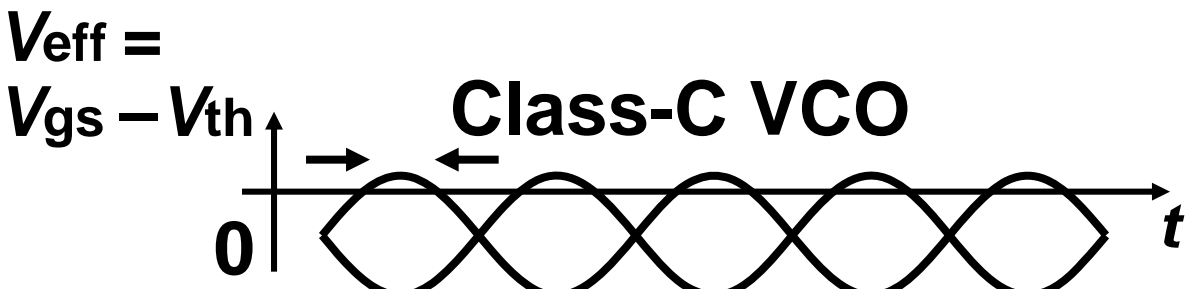
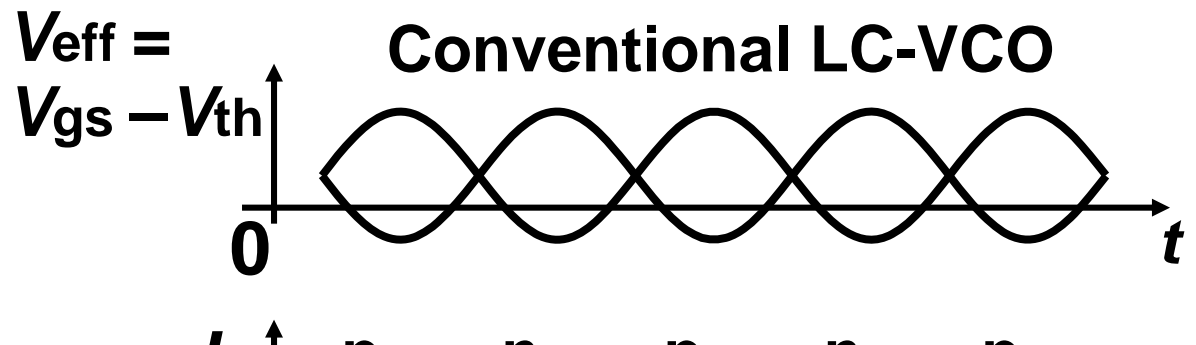
# Class-C VCO[2]

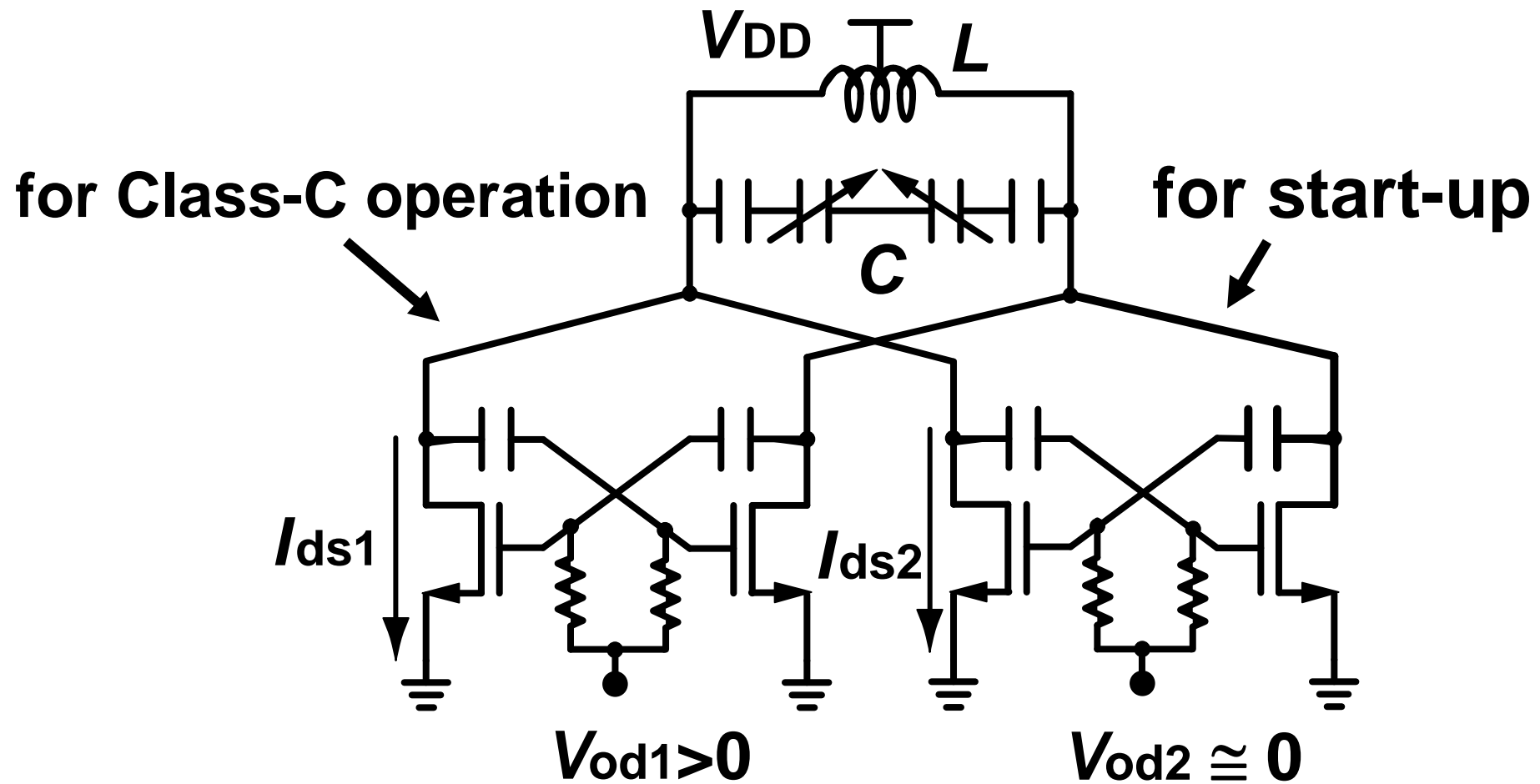
43



[2] A. Mazzanti, et al.,  
JSSC 2008

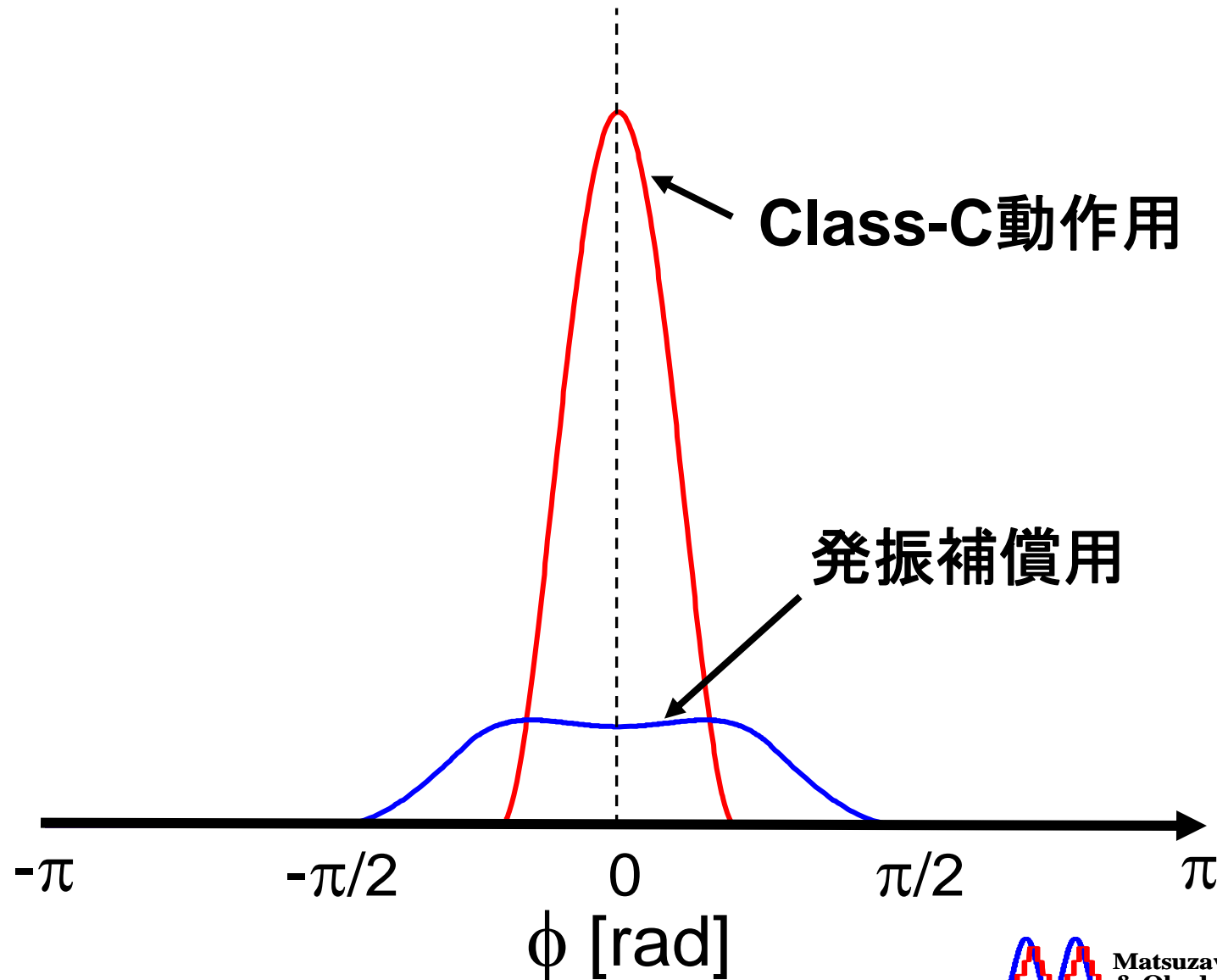
2009/11/5





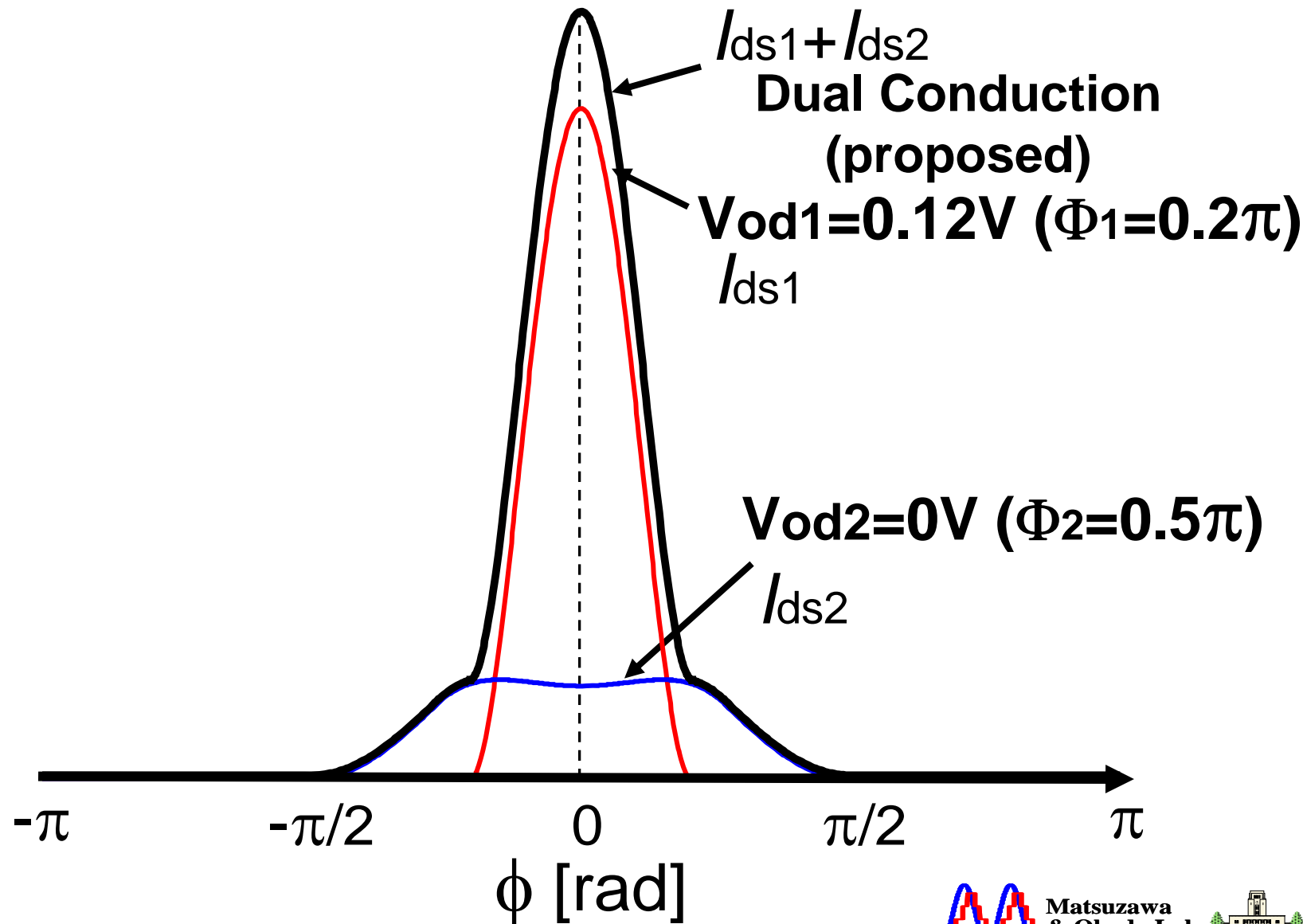
# Dual-Conduction Current Waveform

45



# Dual-Conduction Current Waveform

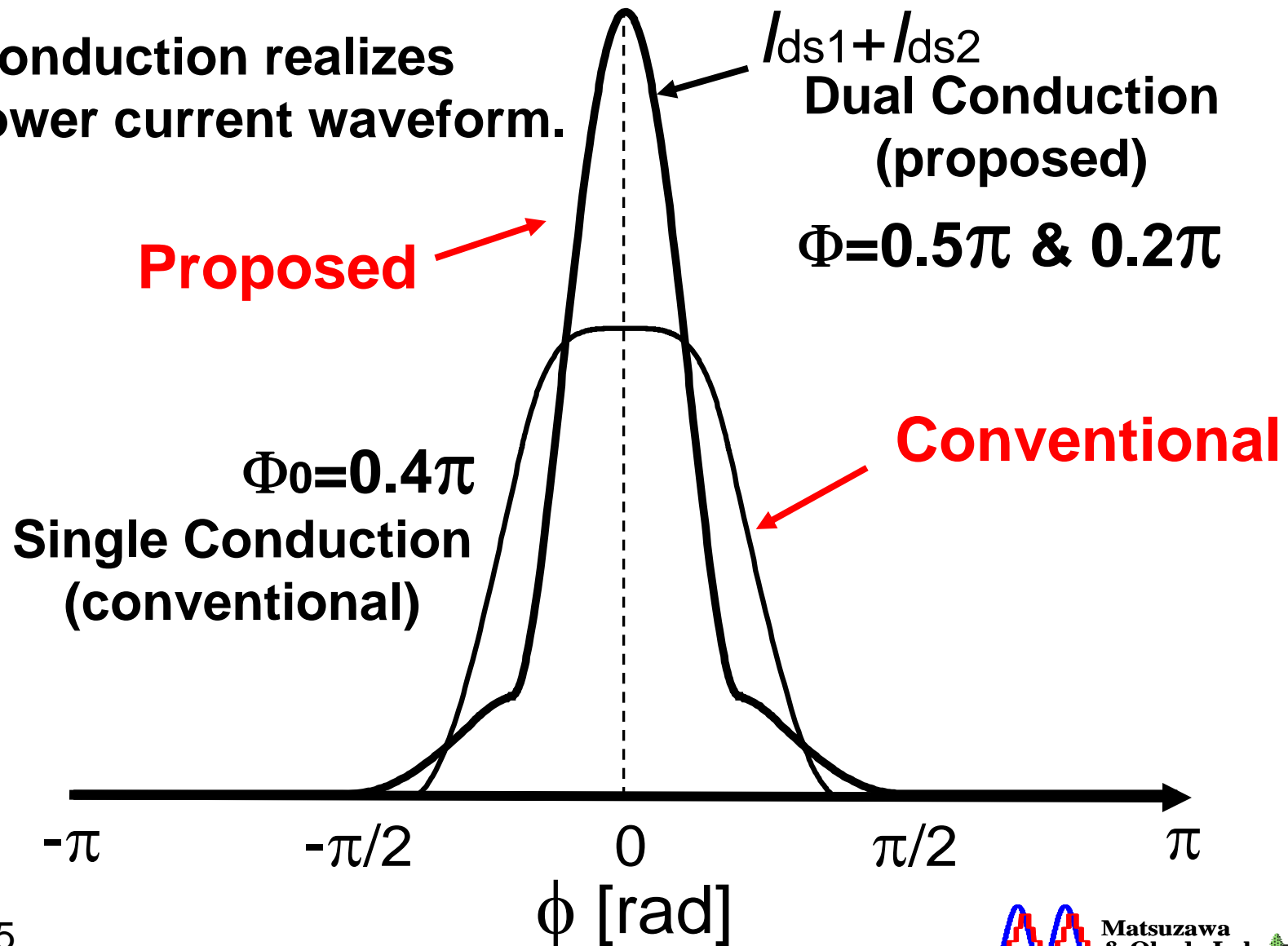
46



# Comparison of Current Waveforms

47

Dual Conduction realizes a narrower current waveform.

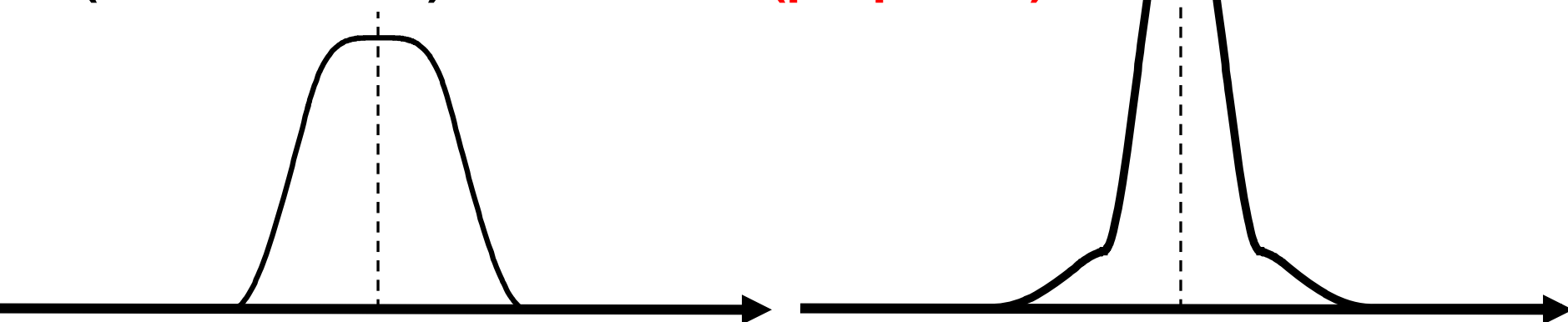


# Analytical Comparison

48

## Single Conduction (conventional)

## Dual Conduction (proposed)



$$V_{od}=0.05V \ (\Phi_0=0.4\pi)$$

PN: -106dBc/Hz-1MHz

Pdc:  $168\mu W$

FoM:  $188\text{dBc/Hz}$

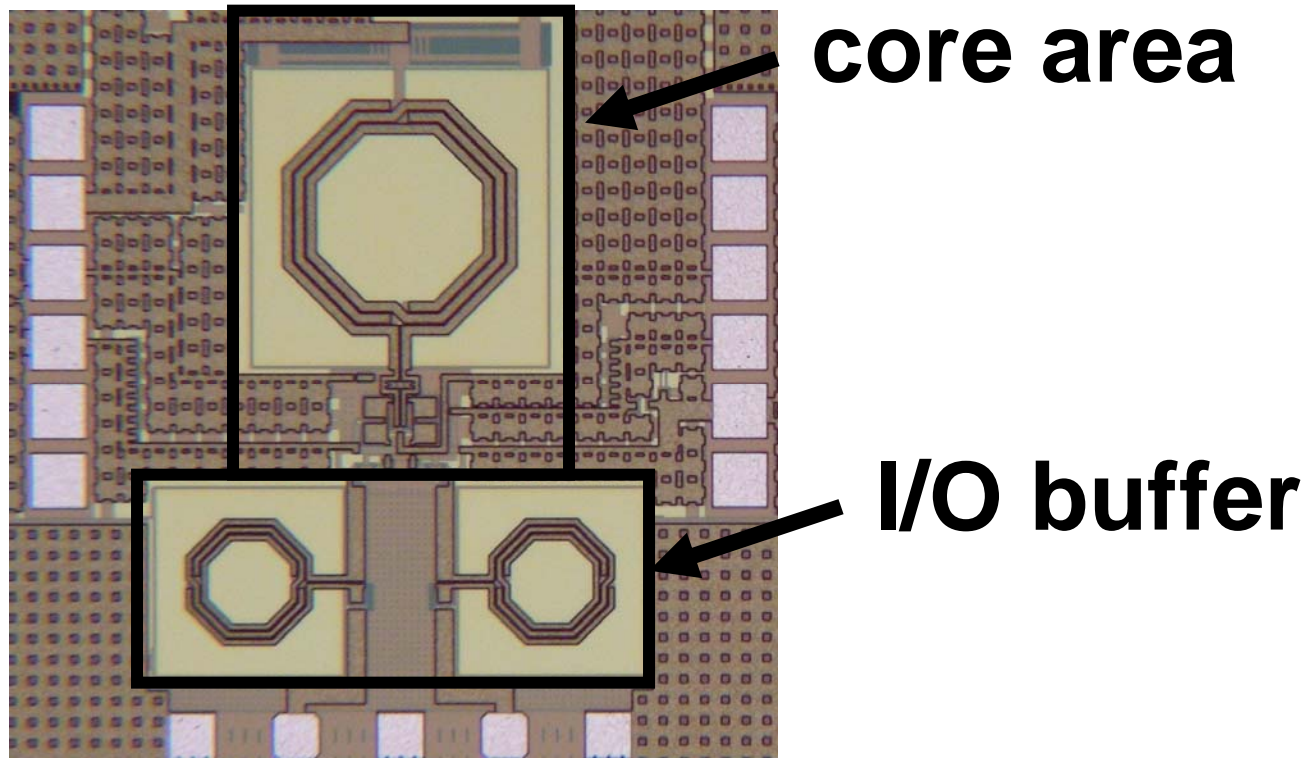
$$V_{od1}=0.12V \ (\Phi_1=0.2\pi)$$

$V_{od2}=0V \ (\Phi_2=0.5\pi)$   
PN: -109dBc/Hz-1MHz

Pdc:  $162\mu W$

FoM:  $191\text{dBc/Hz}$

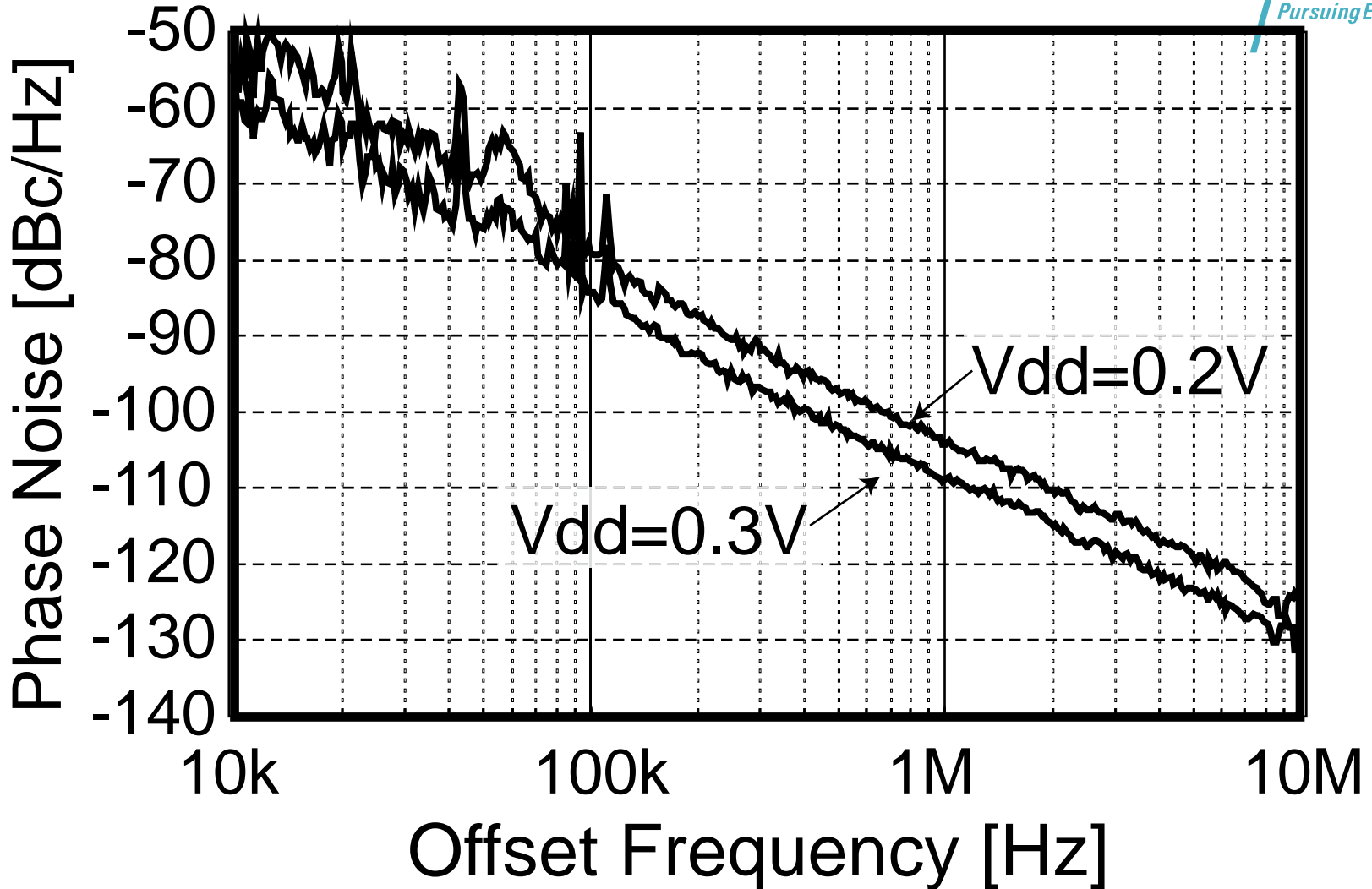
# Chip Micrograph



- 0.18μm CMOS process
- 670μm x 440μm for core area

# Phase Noise Measurement

50



$V_{gbias1}=0.45, V_{gbias2}=0.55$   
 $f_0=4.5\text{GHz}$

-104dBc/Hz @ 1MHz for 0.2V  
-109dBc/Hz @ 1MHz for 0.3V

# Performance Comparison

51

	[2]	[1]		This work	
Technology	0.13μm CMOS	0.18μm CMOS	0.18μm CMOS	0.18μm CMOS	
Vdd [V]	1.0	0.5	0.35	<b>0.3</b>	<b>0.2</b>
P <sub>D</sub> C [mW]	1.3	0.57	1.46	<b>0.159</b>	<b>0.114</b>
f <sub>0</sub> [GHz]	4.9	3.8	1.4	4.5	4.5
Phase noise [dBc/Hz]	-130 @3MHz	-119 @1MHz	-129 @1MHz	-109 @1MHz	-104 @1MHz
FoM [dBc/Hz]	196	193	190	190	187
Topology	Class-C (single)	Transformer feedback		Class-C (dual)	

- 従来の低電圧VCOの1/10の消費電力で動作した。0.2V電源電圧までの動作が可能であった。
- **低電圧VCOの世界記録**

## RF回路研究の技術トレンド

- ・マルチバンド
- ・ミリ波
- ・低電圧